

Gott wuerfelt nicht –
Zeit-Masse-Dualitaet und
Kernstruktur der
Fundamental
Fractal-Geometric Field
Theory

Johann Pascher

20. Januar 2026

Inhaltsverzeichnis

1	Kapitel 1: Eine Zahl, die alles steuert: Die Zeit-Masse-Dualität	5
2	Kapitel 2: Von \hbar zu Massen, Verhältnissen und der Zahl 137	11
3	Kapitel 3: Zeit-Masse-Dualität in Quantenmechanik und Feldtheorie	17
4	Kapitel 4: Quanteninformation und Grundfunktionen in der Zeit-Masse-Dualität	23
5	Kapitel 5: Fraktale Dimension und Regularisierung	33
6	Kapitel 6: Einheiten, Skalen und Konstanten aus \hbar	39
7	Kapitel 7: Gravitation und Gravitationskonstante aus \hbar	45
8	Kapitel 8: Singularitäten und natürlicher UV-Cutoff	51

9 Kapitel 9: Kosmologie, Rotverschiebung und CMB in der Zeit-Masse-Dualität	57
10 Kapitel 10: Präzisionstests und Beobachtungen	63
11 Kapitel 11: Rechnen mit der Zeit-Masse-Dualität	71
12 Kapitel 12: Natürliche Einheiten und neu gelesene Konstanten	77
13 Kapitel 13: Warum Einheitenprüfung essenziell ist	89
14 Kapitel 14: FFGFT als Lagrange-Erweiterung	95
15 Kapitel 15: Quellen und weiterführende Literatur	103

Kapitel 1

Kapitel 1: Eine Zahl, die alles steuert: Die Zeit-Masse-Dualität

Eine Zahl, die alles

steuert: Die

Zeit-Masse-Dualität

Motivation

Stellen Sie sich vor, die gesamte Physik – von

Ele-

mentarteilchen bis zum Kosmos – ließe sich auf eine einzige dimensionslose Zahl reduzieren.

Nicht

19 freie Parameter wie im Standardmodell, keine willkürlich eingesetzten Kopplungskonstanten,

son-

dern ein geometrischer Kernparameter. Diese

Zahl

nennen wir in der FFGFT (früher T0-Theorie) ξ :

$\xi = \times 10^{-4}$. (1.1) Sie ist der Dreh- und Angelpunkt

der Zeit-

Masse-Dualität: Masse ist in dieser Sicht nichts

anderes als verdichtete, lokal gebremste Zeit. Je größer die effektive Masse in einer Region, desto "dichter" ist die Zeit dort – ein Motiv, das sich später in Quantenmechanik, Feldtheorie und Kosmologie wiederfindet. Von Anfang an ist dabei ein ontologischer Vorbehalt wichtig: Alle Experimente vergleichen letztlich Frequenzen oder Zählraten und liefern damit nur relative Aussagen; es gibt keine Messung – und wird auch nie eine geben –, die auch prinzipiell eindeutig entscheiden könnte, ob sich "wirklich" die Zeit verlangsamt, die Masse zunimmt oder die Geometrie sich ändert, denn jeder Detektor ist selbst Teil derselben relationalen Struktur. Für die FFGFT bedeutet dies: Sie wird ausdrücklich als Modell verstanden – als bestimmte Art, diese relativen Relationen zu organisieren – und entscheidend ist nicht eine metaphysische Wahl zwischen Bildern, sondern dass die auf $\frac{1}{\sqrt{1 - \frac{v^2}{c^2}}} = 1$ basierende mathematische Struktur konsistent ist und alle beobachtbaren Relationen (Frequenzen, Skalen, Verhältnisse) reproduziert; darüber hinaus bleibt die Frage, "was

sich wirklich ändert“, bewusst offen. Insbesondere-

re ließe sich selbst die RT prinzipiell so umformulieren, dass man die Massen streng invariant hält und alle Änderung der Geometrie zuschreibt – oder

umgekehrt eine Beschreibung wählt, in der die Zeit-

entwicklung als konstant gesetzt und die Massen

variabel sind; die FFGFT macht transparent, dass

solche ontologischen Entscheidungen Konventio-

nen über derselben Menge relationaler Daten sind.

Im Vergleich zur Allgemeinen Relativitätstheorie (RT) bedeutet dies eine Neuordnung der Rollen:

In

der RT bleiben die Ruhmassen fest und die Gravita-

tion wird vollständig in die Krümmung einer glatten

4D-Raumzeit gelegt, während in der FFGFT die ef-

fektive Masse ρ_{eff} variabel ist und ein Teil dessen, was man sonst der Krümmung zuschreibt, in das

Zeitfeld und seine fraktale Tiefenstruktur wandert.

Aus dieser Perspektive werden RT und bekannte Feldtheorien als vereinfachte Unterbereiche bzw.

Grenzfälle einer erweiterten Formulierung gelesen;

die FFGFT wird als notwendige Erweiterung eingeführt, die dort eine vollständigere und innerlich

konsistentere Berechnung ermöglicht, wo die vereinfachten Formulierungen an ihre konzeptionellen

Grenzen stoßen.

1.1 Fraktale Raumzeit und effektive Dimension

Die FFGFT postuliert, dass die Raumzeit auf kleinsten Skalen nicht exakt dreidimensional ist, sondern

eine leicht fraktale Struktur besitzt. Diese lässt sich

durch eine effektive fraktale Dimension beschreiben:

$$D_{eff} = 3 - \frac{\ln(\mu)}{\ln(\lambda)} \approx 2,999867. \quad (1.2)$$

Im Alltag bemerken wir davon nichts – alle Experimente sind mit einer glatten 3D-Geometrie verträglich.

Doch im Grenzbereich zwischen Planckska-

la und Teilchenphysik genügt der winzige Versatz von

$3 - \frac{\ln(\mu)}{\ln(\lambda)} = \frac{\ln(\mu)}{\ln(\lambda)}$, um Divergenzen zu regulieren und neue Stabilitätsbedingungen einzuführen.

1.1.1 Eine geometrische Analogie

Als ergänzende Analogie kann man an ein stark gefaltetes Medium denken: Nicht das Volumen ändert sich,

sondern die interne Struktur gewinnt an

Faltungen und Verzweigungen. In ähnlichem Sinne

beschreibt die FFGFT einen Raum, dessen feine fraktale Tiefe im Laufe der Entwicklung zunimmt, während der makroskopische Raum im Mittel

sta-

bil bleibt. Diese Analogie bleibt zweitrangig gegen-

über der präzisen geometrischen Formulierung, hilft

aber, die Rolle von ξ als Maß für zusätzliche Struktur zu veranschaulichen.

Wichtiger Hinweis (Kosmologie): Die Standard-Interpretation der kosmologischen Rotverschiebung als Folge einer expandierenden Raumzeit wird

in der FFGFT durch ein alternatives Bild ersetzt, in

dem fraktale Tiefenstruktur und effektive Skalen eine zentrale Rolle spielen. Dieser Aspekt ist

noch

Gegenstand aktiver Forschung; zugleich deuten mehrere unabhängige Beobachtungen darauf

hin,

dass die gängige Deutung als rein kinematische Expansion unvollständig ist und eine fraktale

Tie-

fenstruktur eine zentrale Rolle spielt.

1.2 Von ξ zu physikalischen Skalen

Die Stärke von ξ zeigt sich darin, dass sich aus ihr charakteristische Energieskalen ableiten lassen.

Eine besonders wichtige ist die emergente Skala

m_0 , die zwischen Elektron- und Myonmasse liegt und für die elektromagnetische Struktur zentral ist.

In den technischen Kapiteln der FFGFT lässt sich zeigen, dass sich mit

$$m_0 \frac{m_e}{m_\mu} = m_e \left(\frac{1}{137} \right) \quad (1.3) \quad 1 \text{ MeV}$$

die Feinstrukturkonstante reproduzieren lässt, also $\approx 137,036$. (1.4) In diesem neuen Narrativ-

band werden wir Schritt

für Schritt den Weg gehen

$$m_e \Rightarrow \text{Massen und Verhältnisse} \Rightarrow m_0 \quad (1.5)$$

$$\Rightarrow \text{QM/QFT-Gleichungen} \Rightarrow \text{Kosmos} \quad (1.6)$$

und dabei immer wieder zur Zeit-Masse-Dualität als intuitivem Leitbild zurückkehren.

Im nächsten Kapitel beginnen wir mit den konkreten Massen und Massenverhältnissen, die sich

aus m_0 ergeben, und bereiten damit den Boden für die Entschlüsselung von $1/137$.

Kapitel 2

Kapitel 2: Von xi zu Massen, Verhältnissen und der Zahl 137

Von xi zu Massen,
Verhältnissen und der
Zahl 137

In diesem Kapitel machen wir die erste ernsthafte

Probe auf die Zeit-Masse-Dualität: Führt die einzel-

Leptonen wirklich zu den beobachteten Leptonenmassen und zur berühmten Zahl $1/137$? Wir gehen

schrittweise vor und halten die technischen Details

schlank, verweisen aber dort, wo nötig, auf die entsprechenden Fachkapitel.

2.1 Leptonenmassen als erste

Probe

Die FFGFT beschreibt die Leptonenmassen nicht

als freie Eingaben, sondern als Funktionen einer geometrischen Skala λ 0 und des Parameters λ . In natürlicher Normierung (ohne Einheiten) treten zu-

nächst dimensionslose Massen m (nat) auf, die sich

aus einer fraktalen Quantenfunktion $\lambda(\lambda, \lambda, \lambda)$ ergeben. Für das Elektron, Myon und Tauon lautet dies

schematisch:

$$\begin{aligned} (nat) \ 1 \lambda &= , \quad (2.1) \ \lambda(1, 0, 1/2) \ (nat) \ 1 \lambda = , \\ (2.2) \ \lambda(2, 1, 1/2) \ (nat) \ 1 \lambda &= . \quad (2.3) \ \lambda(3, 2, 1/2) \end{aligned}$$

Die konkrete Form von $\lambda(\lambda, \lambda, \lambda)$ ist Gegenstand der technischen Ableitung; wichtig für das Narrativ ist hier nur:

- Alle drei Massen hängen nur von λ und ganzzah- ligen Quantenzahlen ab.
- Es gibt eine eindeutige geometrische Zuord- nung,

keine frei justierbaren Parameter pro Teilchen.

Um den Kontakt zur gemessenen Physik her- zustellen, wird ein gemeinsamer Skalenfaktor so gewählt, dass

$$\lambda \approx 0,511 \text{ MeV} , \quad (2.4)$$

$$\lambda \approx 105,7 \text{ MeV} , \quad (2.5)$$

$$\lambda \approx 1776,9 \text{ MeV} \quad (2.6)$$

herauskommen. Die Details dieses Fits bleiben in

den Fachkapiteln; hier zählt die Aussage: Mit einem

einzigen geometrischen Parameter λ wird das dreistufige Leptonenspektrum reproduzierbar.

2.2 Massenverhältnisse und die

emergente Skala E_0 Statt auf die absoluten Zahlen zu starren, lohnt es

sich, die Verhältnisse zu betrachten. Zwischen Elektron- und Myon, sowie zwischen Myon und Tauon,

ergeben sich charakteristische Faktoren, die sich

aus der Struktur von $(\mu_e, \mu_\mu, \mu_\tau)$ erklären lassen.

Aus dieser Hierarchie lässt sich eine emergente Energieskala E_0 ableiten, die ungefähr in der Mitte zwischen Elektron- und Myonmasse liegt:

$E_0 \approx 7,4 \text{ MeV}$. (2.7)

Narrativ gesprochen ist E_0 die Energie, bei der sich die durch α bestimmte Geometrie und die elektromagnetische Kopplung besonders "wohl fühlen"

– eine Art Treffpunkt der Skalen. Diese Skala taucht

nicht als freier Parameter auf, sondern fällt aus der Leptonen-Hierarchie heraus.

2.3 Die Feinstrukturkonstante

aus α

An dieser Stelle kommt eine der zentralen Beziehungen der FFGFT ins Spiel:

$E_0 \alpha = m_e c^2$. (2.8) 1 MeV Setzt man hier das aus den Massenverhältnissen

gewonnene E_0 ein, ergibt sich $\alpha \approx$ (2.9) 137,036 und damit $\approx 137,036$, (2.10) α im Einklang mit den präzisen CODATA-Werten der

Feinstrukturkonstante.

Wichtiger Vorsichtsvermerk

Die obige Beziehung ist in der FFGFT keine freie Fit-Formel, sondern folgt aus der Kombination

von

- der fraktalen Dimension $D_F = 3 - \frac{\ln m}{\ln b}$, • der daraus folgenden Skalenhierarchie der Leptonenmassen und
 - der Identifikation von m_0 als geometrisch-emergenter Energieskala.
- Die genaue numerische Übereinstimmung mit dem gemessenen Wert von $1/\alpha$ ist bemerkenswert und stützt die Sicht, dass hier kein bloßer numerischer Zufall vorliegt, sondern eine geometrisch motivierte Struktur; dennoch bleiben experimentelle und theoretische Unsicherheiten zu beachten:
- Experimentelle Seite: Die Feinstrukturkonstante wird extrem präzise gemessen; kleine Verschiebungen durch neue Auswertungen sind möglich.
 - Theoretische Seite: Höherordnungs-Korrekturen (z.B. aus Quantenfeldtheorie und fraktaler Feinstruktur) können die effektive Kopplung geringfügig verändern.
- In diesem Narrativband steht daher nicht der Anspruch im Vordergrund, mit wenigen Zeilen alle Details der Hochpräzisionsphysik erschöpfend zu erklären. Wichtiger ist die konzeptionelle Botschaft: Aus der einzigen Zahl α lassen sich sowohl die Leptonenmassen als auch die elektromagnetische Kopplungsstärke konsistent ableiten. Ausführliche Ableitungen und numerische Studien dazu finden sich in den technischen T0-Dokumenten zu Leptonenmassen und Feinstruktur.

turkonstante [Pascher(2025a), Pa-
scher(2025b)].

In den folgenden Kapiteln wenden wir diese
Sicht auf die Gleichungen der Quantenmechanik
und Quantenfeldtheorie an – beginnend mit der
Schrödingergleichung und ihrer deterministi-
schen

Interpretation in der Zeit-Masse-Dualität.

Kapitel 3

Kapitel 3: Zeit-Masse-Dualität in Quantenmechanik und Feldtheorie

Zeit-Masse-Dualität in
Quantenmechanik und
Feldtheorie

In den bisherigen Kapiteln stand die Geometrie
im

Vordergrund: die Zahl $\frac{1}{2}$, die fraktale Dimension
 $\frac{1}{2}$ und die daraus folgenden Skalen. Nun wenden
wir

diese Struktur auf die vertrauten Gleichungen
der

Quantenmechanik und Quantenfeldtheorie an.
3.1 Schrödingergleichung als ef-
fektive Beschreibung

In der Standardformulierung beschreibt die
zeitab-
hängige Schrödingergleichung

$$\frac{\partial}{\partial t} \langle \psi | \hat{H} | \psi \rangle = \langle \psi | [\hat{H}, \hat{H}] | \psi \rangle = 0 \quad (3.1)$$
 unter die Entwicklung einer Wellenfunktion ψ einem Hamilton-operator \hat{H} . Diese Gleichung ist

bereits deterministisch: Aus einem gegebenen Anfangszustand folgt eindeutig die Zukunft. Die scheinbare Zufälligkeit betritt die Theorie erst durch

das Messpostulat und die Interpretation von $|\psi|^2$ als Wahrscheinlichkeitsdichte.

Im Rahmen der Zeit-Masse-Dualität wird die Schrödingergleichung als effektive Beschreibung

einer tieferliegenden, geometrischen Dynamik ver-

standen. Vereinfacht gesagt beschreibt ψ nicht ein mysteriöses "Feld der Möglichkeiten", sondern eine

statistische Projektion der zugrunde liegenden frak-

talen Zeitstruktur. Die Parameter im Hamiltonopera-

tor – insbesondere Massen und Kopplungsstärken –

sind in der FFGFT nicht fundamental, sondern durch

\hbar und die daraus folgenden Skalen bestimmt.

3.2 Von Schrödinger zu Dirac

Für relativistische Teilchen mit Spin ist die Schrö-

dingergleichung nicht ausreichend. Dort tritt die Dirac-Gleichung auf:

$$(\hat{\alpha} \cdot \hat{p} + \hat{\beta} m) \psi = 0, \quad (3.2)$$

mit den Dirac-Matrizen $\hat{\alpha}$ und der Masse m .

In der FFGFT wird \hbar nicht als Eingabeparameter

betrachtet, sondern als abgeleitete Größe aus der Zeit-

Masse-Dualität und der fraktalen Struktur (wie in

den Leptonenbeispielen zuvor).

Damit ändert sich auch die Lesart der Dirac-Gleichung: Sie ist nicht die fundamentale Gleichung, sondern eine effektive Feldgleichung auf einem Hintergrund, dessen Geometrie bereits

durch

festgelegt ist. In der vollständigen FFGFT/T0Formulierung wird die Dirac-Struktur generell ver-

einfacht: Anstelle des vollen 4×4 -Matrizenapparats tritt eine äquivalente skalare Felddynamik der Mas-

senvariation, auf deren Basis sowohl eine erweiter-

te Schrödingergleichung als auch eine universelle

Lagrange-Funktion formuliert werden. In diesem Kapitel zeigen wir nur die gewohnte Dirac-Form als effektiven Einstieg, während die wirklich

funda-

mentale Beschreibung durch die vereinfachte

Dirac-

Dynamik und die universelle Lagrange-Funktion der

T0-Theorie gegeben wird. Die bekannten Eigenschaften – Spin, Antimaterie, Z-Kitterbewegung

–

bleiben erhalten, erhalten aber eine geometrische

Deutung im Rahmen der fraktalen Raumzeit.

3.3 Lagrangedichte und Rolle

von \mathbb{H} In den Bänden 1 bis 3 wurde die Lagrangedichte der FFGFT Schritt für Schritt aufgebaut. Schematisch lässt sie sich als Erweiterung der Einstein-Hilbert-Wirkung schreiben, ergänzt um fraktale Anteile und materielle Felder. Für ein einfaches Dirac-Feld in gekrümmter Raumzeit lautet die Standard-

Lagrangedichte

$$\mathbb{H} \text{ Dirac } \bar{\psi} (\gamma^\mu \partial_\mu - m) \psi = \mathbb{H} \quad (3.3)$$

In der FFGFT wird \mathbb{H} durch \mathbb{H}^f und die zugrunde liegende fraktale Struktur fixiert, und zusätzliche Terme in der Lagrangedichte kodieren die Beiträge des fraktalen Vakuums. Der genaue Aufbau dieser

Terme wurde in den technischen Kapiteln entwickelt; für das Narrativ genügt hier die Kernaussage,

dass \mathbb{H}^f als globaler Organisationsparameter in allen Sektoren der Lagrangedichte auftritt.

3.4 Ausblick: Quantencomputer und Grundfunktionen

Wenn Quantenmechanik und Quantenfeldtheorie im

Kern geometrisch durch \mathbb{H}^f organisiert sind, liegt es nahe zu fragen, wie sich diese Struktur in Quanten-

information und Quantencomputern widerspiegelt;

die zuvor eingeführten fraktalen Grundfunktionen

und Moden lassen sich dabei als natürliche Basis für Quantenregister und logische Operationen verstehen. Auf dieser Grundlage kann der Zusammenhang zwischen den zugrunde liegenden Feldgleichungen, der Zeit-Masse-Dualität und konkreten Quantenchip-Architekturen herausgearbeitet werden, so dass klar wird, wie geometrische und informationstheoretische Aspekte ineinandergreifen.

Kapitel 4

Kapitel 4: Quanteninformation und Grundfunktionen in der Zeit-Masse-Dualität

Quanteninformation
und Grundfunktionen in
der
Zeit-Masse-Dualität

In diesem Kapitel wird die Verbindung zwischen der geometrischen Struktur der FFGFT und der Quanteninformationstheorie beschrieben. Der Fokus liegt nicht auf technischen Schaltplänen, sondern auf der Frage, wie sich Qubits, Überlagerung und Verschränkung aus der Zeit-Masse-Dualität heraus verstehen lassen.

4.1 Qubits als effektive Freiheitsgrade

In der üblichen Formulierung ist ein Qubit ein Zustandsvektor in einem zweidimensionalen Hilbertraum:

$$|\psi\rangle = \alpha |0\rangle + \beta |1\rangle, \quad |\alpha|^2 + |\beta|^2 = 1. \quad (4.1)$$

In der FFGFT wird dieser Hilbertraum nicht als abstrakter mathematischer Raum ohne Hintergrund

verstanden, sondern als effektive Beschreibung bestimmter fraktaler Moden der Zeit-Masse-Dualität.

Die beiden Basiszustände $|0\rangle$ und $|1\rangle$ stehen dann für zwei stabilisierte Konfigurationen einer zugrun-

de liegenden geometrischen Struktur (z.B. zwei lokal verschiedene Phasen des Feldes), während die

Koeffizienten α und β die Verteilung der Aktivierung in dieser Struktur wiedergeben.

Diese Interpretation ändert an der formalen Verwendung der Qubit-Algebra nichts; sie macht nur

explizit, dass die Parameter letztlich durch α und β die daraus folgenden Skalen festgelegt sind.

4.2 Überlagerung und Interferenz

Der Kern vieler Quantenalgorithmen ist die Kontrolle

lierte Nutzung von Überlagerung und Interferenz. In

der üblichen Sprache spricht man davon, dass ein

Qubit gleichzeitig "0" und "1" ist und dass sich diese

Anteile konstruktiv oder destruktiv überlagern. Im Rahmen der Zeit-Masse-Dualität lässt sich dies als Interferenz von fraktalen Zeitpfaden deuten:

Die zugrunde liegende geometrische Dynamik

ist deterministisch, aber aus Sicht des effektiven Zustands $| \text{Zustand} \rangle$ erscheinen mehrere Beiträge, die sich in der Messung als Wahrscheinlichkeiten manifestieren.

Die bekannten Interferenzphänomene – etwa

am Doppelspalt – bleiben vollständig erhalten, erhalten aber eine zusätzliche Interpretationsebene:

Sie spiegeln die Struktur der fraktalen Pfaddynamik wider.

4.3 Verschränkung und Nichtlokalität

Mehrteilchenzustände wie $|\Psi\rangle = \frac{1}{\sqrt{2}} (|00\rangle + |11\rangle)$ (4.2) werden in der Standardquantenmechanik als verschränkt beschrieben: Der Gesamtzustand ist nicht

als Produkt einzelner Qubit-Zustände beschreibbar.

In der FFGFT ist dies ein Hinweis darauf, dass die

die

die

zugrunde liegende fraktale Struktur die beteiligten

Freiheitsgrade gemeinsam organisiert. Die Korrela-

tionen entstehen nicht durch nachträgliche "Kom-

munikation" zwischen Teilchen, sondern sind in der

gemeinsamen Geometrie der Zeit-Masse-Dualität

bereits vorhanden.

Diese Sicht steht im Einklang mit den Ergebnissen der Bände 1–3, in denen Bell-Experimente,

RSA-Protokolle und deterministische Deutungen der Quantenmechanik diskutiert wurden. Im vorliegenden Narrativ werden diese Themen nicht neu

hergeleitet, sondern auf die Rolle von \mathbb{H} und der fraktalen Struktur zurückgeführt.

4.4 Grundfunktionen als natürliche Rechenbasis

In früheren Kapiteln der FFGFT wurden spezielle fraktale Grundfunktionen \mathbb{H}_α (\mathbb{H}_β) eingeführt, die als Eigenfunktionen des zugrunde liegenden Zeitfeld-

Operators fungieren und die spektrale Struktur der

Zeit-Masse-Dualität beschreiben. Für Quanteninfor-

mationsanwendungen bieten sie sich als natürliche

Rechenbasis an: Statt willkürlich gewählter Basis-

zustände nutzt man direkt Zustände der Form

$$| \begin{smallmatrix} 1 \\ 0 \end{smallmatrix} \begin{smallmatrix} 0 \\ 1 \end{smallmatrix} \begin{smallmatrix} 0 \\ 0 \end{smallmatrix} \begin{smallmatrix} 0 \\ 0 \end{smallmatrix} \rangle (4.3)$$

die die Besetzung der $\begin{smallmatrix} 1 \\ 0 \end{smallmatrix}$ -ten Grundfunktion repräsentieren.

Konzeptionell bedeutet dies:

- Ein Qubit oder Register wird nicht abstrakt definiert, sondern als Besetzungsstruktur bestimm-

ter

Grundfunktionen.

- Gatteroperationen entsprechen gezielten geometrischen Transformationen, die diese Moden mischen (z.B. effektive Rotationen im Zustandsraum).

Diese konkrete Ausführung solcher Operationen (etwa auf einem photonischen Chip) bleibt hier

im

Hintergrund. Wesentlich ist, dass die FFGFT eine konsistente Brücke zwischen geometrischer

Feld-

theorie und Quanteninformation bietet, ohne an

der

etablierten formalen Struktur der

Quantencompu-

tertheorie etwas zu ändern.

4.5 Elementare Gatter und frakta-

le Dynamik

Einfache Ein-Qubit-Gatter lassen sich als gezielte Umverteilungen der Besetzung zwischen zwei Grundfunktionen verstehen. Mathematisch kann man eine Rotation im zweidimensionalen

Zustands-

raum beispielsweise durch

$$\cos(\theta/2) - \sin(\theta/2) \begin{smallmatrix} 1 \\ 0 \end{smallmatrix} \begin{smallmatrix} 0 \\ 1 \end{smallmatrix} = \begin{smallmatrix} \cos(\theta/2) & \sin(\theta/2) \\ \sin(\theta/2) & -\cos(\theta/2) \end{smallmatrix} \quad (4.4)$$

beschreiben.

In der Zeit-Masse-Dualität entspricht eine sol-

che Rotation einer kontrollierten Änderung der
 rela-
 tiven Gewichtung zweier fraktaler Moden bei
 fes-
 tem durch \mathbb{H} vorgegebenem Energiespektrum.
 Die formale Darstellung bleibt identisch zur übli-
 chen
 Quanteninformationstheorie, erhält aber eine
 geo-
 metrische Interpretation: Winkelparameter wie
 \mathbb{H} spiegeln konkrete Eigenschaften der zugrunde
 lie-
 genden Struktur wider, etwa Laufzeiten oder
 effek-
 tive Kopplungsstärken.
 Ein kontrolliertes Zweiqubit-Gatter, etwa ein
 kon-
 trolliertes Phasengatter, kann in dieser Sichtwei-
 se
 als gezielte Korrelation zweier Sätze von
 Grundfunk-
 tionen aufgefasst werden. Statt einer abstrakten
 Steuerung eines Kontrollqubits wirkt die zugrun-
 de liegende fraktale Geometrie so, dass
 bestimm-
 te kombinierte Besetzungen bevorzugt oder
 unter-
 drückt werden.
 4.6 Skalen, Rauschen und Ro-
 bustheit
 Die durch \mathbb{H} bestimmten Skalen legen nicht nur
 Massen und Energien fest, sondern auch natürliche
 Zeit-
 skalen, auf denen kohärente Quantdynamik
 stattfin-

den kann. Für Quantenprozessoren bedeutet dies,
dass es bevorzugte Betriebsbereiche gibt, in denen
die Wechselwirkung mit der Umgebung die fraktale
Struktur nur geringfügig stört.
Rauschen und Dekohärenz lassen sich in dieser
Perspektive als Störungen der feinen Zeit-Masse-
Struktur deuten, die dazu führen, dass sich die ef-
fektive Beschreibung durch Qubits von der tatsäch-
lichen geometrischen Dynamik entfernt. Eine sorg-
fältige Wahl von Materialien, Frequenzen und Kopp-
lungsstärken kann als Versuch verstanden werden,
diese Störungen so zu minimieren, dass die durch
vorgegebenen Skalen möglichst gut ausge-
nutzt werden.

4.7 Faktorisierung, Shor- Algorithmus und Simula- tionen

Ein prominentes Beispiel für die Leistungsfähig-
keit
von Quantencomputern ist die Faktorisierung gro-
ßer Zahlen, wie sie im Shor-Algorithmus genutzt
wird. Formal basiert dieser Algorithmus auf periodi-

schen Strukturen in modularen Exponentialfunktionen und nutzt Überlagerung und Interferenz, um Perioden effizient zu finden.

In der FFGFT lassen sich diese Strukturen als spezielle Konfigurationen der fraktalen Grundfunk-

tionen verstehen. Ein prototypischer Schritt im Shor-

Algorithmus ist die Abbildung

$$| \frac{1}{\sqrt{N}} \sum_{k=0}^{N-1} |0\rangle \frac{1}{\sqrt{N}} \sum_{j=0}^{N-1} | \frac{j}{N} \rangle | \frac{k}{N} \rangle | \frac{1}{N} \rangle, | \frac{1}{N} \rangle = | \frac{j}{N} \rangle \bmod | \frac{1}{N} \rangle, \quad (4.5)$$

gefolgt von einer Quanten-Fourier-

Transformation

auf dem ersten Register, um die Periode $| \frac{1}{N} \rangle$ von $| \frac{1}{N} \rangle$ zu extrahieren.

Die Simulationen zum Shor-Algorithmus zeigen, dass sich die erwarteten Interferenzmuster und

Er-

folgschancen reproduzieren lassen, wenn man

die

logischen Zustände als Besetzungen geeigneter fraktaler Moden interpretiert.

Narrativ gesprochen bedeutet dies:

- Faktorisierung wird nicht als "magische" Beschleunigung verstanden, sondern als Ausnutzung geometrisch organisierter Interferenz in

der

Zeit-Masse-Struktur.

- Die gleichen Grundfunktionen, die in der Feldtheorie auftauchen, bilden auch die Basis für die Simulationen von Shor-ähnlichen Algorithmen.
- Weitere Quantenalgorithmen (z.B. Such- und

Op-

timierungsverfahren) lassen sich in dieser Sprache als unterschiedliche Nutzungen derselben

fraktalen Geometrie formulieren.

Eigene Kapitel können diese Aspekte vertiefen, etwa durch detaillierte Besprechungen konkreter

Schaltfolgen oder numerischer Simulationen. In diesem Überblick genügt die Feststellung, dass die Zeit-Masse-Dualität einen konsistenten Hintergrund

liefert, auf dem auch komplexe Algorithmen

wie Shor geometrisch verstanden werden können.

Kapitel 5

Kapitel 5: Fraktale Dimension und Regularisierung

Fraktale Dimension und
Regularisierung

In den vorhergehenden Kapiteln wurde die Zeit-Masse-Dualität phänomenologisch genutzt: Die Zahl \hbar organisiert Massen, Verhältnisse und Kopplungen. In diesem Kapitel wird die fraktale Dimensi-

on d etwas näher beleuchtet und gezeigt, warum bereits ein winziger Versatz von der klassischen Dreidimensionalität physikalisch wirksam werden kann.

5.1 Warum eine fraktale Dimension?

Klassische Feldtheorien arbeiten in glatten Räumen mit ganzzahliger Dimension. Die Erfahrung mit

Quantenfeldtheorien zeigt jedoch, dass auf sehr

kleinen Skalen Divergenzen auftreten, die nur mit

zusätzlichen Regularisierungsschritten beherrschbar sind.

Die FFGFT wählt einen anderen Ansatz: Statt eine Hilfsregularisierung einzuführen, wird die ef-

fektive Raumdimension selbst leicht verschoben,

$$d_{\text{eff}} = 3 - \epsilon, \quad (5.1)$$

mit $\epsilon = 43 \times 10^{-4}$. Physikalisch bleibt der Raum für alle direkten

Messungen dreidimensional; der Unterschied zeigt

sich nur in der Art, wie Integrale über sehr hohe Impulse oder sehr kleine Längen konvergieren.

Der

winzige Bruchteil ϵ wirkt wie eine eingebaute Regularisierung der Feldtheorie.

5.2 Skalenabhängigkeit und Zeit-Masse-Dualität

Die fraktale Dimension ist nicht als starre Eigenschaft eines "stückweit zerfressenen" Raumes zu

verstehen, sondern als effektive Beschreibung der

Skalenabhängigkeit. Je weiter man in die Tiefe der

Zeit-Masse-Struktur hinabgeht, desto deutlicher macht sich die Abweichung von exakt drei Dimen-

sionen bemerkbar.

In der Zeit-Masse-Dualität spiegelt sich dies in

der Zuordnung von Masse zu lokaler "Dichte" der

Zeit wider. Größere effektive Masse bedeutet, dass

die fraktale Struktur an dieser Stelle dichter gefal-

tet ist; die Zeit verläuft dort im Mittel langsamer.

Die leichte Absenkung von $\frac{m}{m_0}$ gegenüber 3 ist ein globales Maß für diese Faltungsdichte.

5.3 Verbindung zu Massen und

Kopplungen

Aus der Sicht der FFGFT sind Massen und Kopplun-

gen keine unabhängigen Größen, sondern abgelei-

tete Parameter der fraktalen Geometrie. Die Lepto-

nenmassen und die Feinstrukturkonstante wurden

bereits als Funktionen von $\frac{m}{m_0}$ und einer emergenten Skala $\frac{m}{m_0} \ll 1$ diskutiert. Im Hintergrund steht die Beobachtung, dass In-

tegrale, die in exakt dreidimensionalen Theorien

divergieren würden, bei $\frac{m}{m_0} = 3 - \frac{m}{m_0}$ gerade so weit abgeschwächt werden, dass wohldefinierte Beiträ-

ge entstehen. Diese Beiträge lassen sich als effekti-

ve Selbstenergien und Kopplungskorrekturen inter-

pretieren, die durch die fraktale Struktur festgelegt

sind.

In früheren T0-Texten taucht daneben eine

scheinbar abweichende Zahl $d_{\text{eff}} \approx 2,94$ auf. Sie beschreibt jedoch keine andere Raumdimension, sondern

eine effektive Dimension d_{eff} für bestimmte

Renormierungsschritte, bei denen Loop-Integrale

wie $(\Lambda^2 / \ell^2)^{d_{\text{eff}}/2 - 2}$ skaliert werden und nur die Kombination $d_{\text{eff}} - 2 \approx 0,94$ zählt. Fundamental bleibt im

Xi-Narrativ die Geometrie mit $d = 3 - \epsilon$; $d_{\text{eff}} \approx 2,94$

ist ein abgeleiteter kritischer Exponent für ausge-

wählte Prozesse, der aus dieser Geometrie folgt. Diese Unterscheidung deckt sich mit unabhängigen Ansätzen zur fraktalen Quantengravitation,

in denen die spektrale Dimension im UV gegen $d_{\text{eff}} \approx 2$ fließt und so Renormierbarkeit ermöglicht [Modesto(2008), Modesto(2009), Calcagni(2010), Calcagni(2010b), Hořava(2009), Thürigen(2015)].

Narrativ formuliert bedeutet das:

- d_{eff} quantifiziert, wie stark die Raumzeit auf kleinsten Skalen gefaltet ist.
- Diese Faltung reguliert die sonst divergierenden

Quantenfluktuationen.

- Massen und Kopplungsstärken ergeben sich als

Antwort des Feldes auf diese regulierte fraktale Struktur.

5.4 Casimir-Effekt als Laborbestätigung

Ein besonders wichtiger Test der fraktalen Vakuumstruktur ist der Casimir-Effekt. Zwischen leiten-

den Platten wird eine Kraft gemessen, die sich in

der Standardtheorie aus der $1/l^4$ -Abhängigkeit der Vakuumenergiedichte ergibt und seit Jahrzehnten

hochpräzise bestätigt ist.

In der FFGFT werden diese Messungen mit der durch l_{Hubble} bestimmten Skalenhierarchie verknüpft. Ausgehend von der CMB-Energiedichte ρ_{CMB} und CMB einer charakteristischen Vakuum-Längenskala l_{CMB}

um $100 \mu\text{m}$ lässt sich zeigen, dass eine Beziehung

der Form $\rho_{\text{CMB}} l_{\text{CMB}}^4 = (5.2) \rho_{\text{Casimir}} l_{\text{Casimir}}^4$ zu einer modifizierten Casimir-Formel führt, die exakt wieder die etablierte Standardformel

$\rho_{\text{Casimir}} = (5.3) \frac{30 \hbar^2}{640 \pi^2 l^4}$ reproduziert.

Damit werden zwei auf den ersten Blick sehr verschiedene

Phänomene – CMB und Casimir-Effekt

– als unterschiedliche Manifestationen derselben

fraktalen Vakuumstruktur verständlich. Die vorhandenen

Casimir-Messungen liefern somit eine direkte

Laborbestätigung dafür, dass die durch l_{Hubble} organisierte Tiefenstruktur des Raumes physikalisch real

ist.

5.5 Ausblick auf Kosmologie und

CMB

Die gleiche fraktale Dimension, die in der Teilchen-

physik für Regularisierung sorgt, spielt in der Kos-

mologie eine Rolle bei der Deutung großskaliger Strukturen. Wenn die effektive Tiefe des Raumes im Laufe der kosmischen Entwicklung zunimmt,

än-

dern sich auch die Wahrnehmung von Entfernun-

gen, Zeiten und Energiedichten.

In späteren Kapiteln wird beschrieben, wie die CMB-Temperatur, Rotverschiebungen und ande-

re kosmologische Größen in diesem Rahmen neu gedeutet werden können. Dabei wird deutlich

ge-

macht, dass diese Interpretation nicht beliebig ist,

sondern durch mehrere Beobachtungen gestützt

wird, zugleich aber weiterhin sorgfältig an den kos-

mologischen Daten getestet werden muss.

Kapitel 6

Kapitel 6: Einheiten, Skalen und Konstanten aus ξ

Einheiten, Skalen und
Konstanten aus ξ

In der bisherigen Darstellung stand ξ als Organisationsparameter für Massen, Verhältnisse und die

Feinstrukturkonstante im Mittelpunkt. In diesem Kapitel wird skizziert, wie sich aus derselben Struktur

auch die Einheiten und zentralen Naturkonstanten

ableiten lassen und warum in der FFGFT keine frei

gewählten UV-Cutoffs benötigt werden.

6.1 Natürliche Skalen aus der
Zeit-Masse-Dualität

Die Zeit-Masse-Dualität legt nahe, von Anfang an

mit natürlichen Skalen zu arbeiten, die durch ℓ_0 festgelegt sind. Statt Masse, Länge und Zeit völlig unab-

hängig zu definieren, werden sie über die fraktale

Dimension $D = 3 - \frac{\log \ell_0}{\log \ell_P}$ und charakteristische Skalen wie ℓ_0 , ℓ_P und ℓ_{eff} miteinander verknüpft.

Wesentliche Bausteine sind:

- eine Energieskala ℓ_0 im MeV-Bereich, die aus der Leptonen-Hierarchie folgt,
- eine minimale Längenskala $\ell_P = \ell_P$ im Sub-Planck-Bereich,
- eine emergente Vakuum-Längenskala ℓ_{eff} im Bereich von etwa 100 μm , die Casimir- und CMB-Effekte verbindet.

Aus diesen Größen lassen sich konsistente Systeme natürlicher Einheiten aufbauen, in denen z.B.

$\ell_0 = \ell_P$ gesetzt wird und Zeit, Länge und Energie direkt durch die fraktale Struktur verknüpft sind.

6.2 Dimensionen, D und effektive Einheiten

Die leichte Abweichung der effektiven Dimension

D von 3 hat direkte Konsequenzen für die Skalierung von Größen. Volumina, Flächen und Phasenräume wachsen geringfügig anders als in exakt drei-

dimensionalen Modellen, was sich im UV-Verhalten

der Theorien niederschlägt.

In der FFGFT werden effektive Einheiten so gewählt, dass diese fraktale Skalierung von Anfang an mitberücksichtigt wird:

- Längen werden relativ zu l_0 und t_0 gemessen,
- Energien relativ zu E_0 und den daraus abgeleiteten Skalen,

- Zeitabstände über die Zeit-Masse-Dualität direkt

mit lokalen Massendichten und Faltungsgraden der Struktur verknüpft.

Dadurch verschwinden viele der scheinbar willkürlichen Parameter, die in klassischen Einheiten-

Systemen auftreten, und machen Platz für eine Geo-

metrisierung der Einheiten selbst.

6.3 Gravitationskonstante als

emergente Kopplung

In der Standardphysik erscheint die Gravitations-

konstante G als fundamentale Konstante, die direkt in die Feldgleichungen und Lagrangedichten eingebaut wird.

Ihre Dimension wird durch das gewählte

Einheitensystem festgelegt, und in vielen Ansätzen

zur Quantengravitation versucht man, G analog zu anderen Kopplungen zu renormieren.

In der FFGFT wird ein anderer Weg eingeschlagen. Ausgehend von einer Zeitfeld-Dynamik und der fraktalen Raumzeitstruktur wird Gravitation als

emergente Wirkung der Zeit-Masse-Dualität ver-

standen. Die Planck-Länge

$l_P = \sqrt{(6.1) \cdot 10^{-35} \text{ m}}$ wird nicht als Ausgangspunkt genommen, sondern

selbst als abgeleitete Skala, die aus ℓ_P und der Geometrie der Zeit-Masse-Struktur folgt.

Konzeptionell bedeutet dies:

- ℓ_P fungiert als effektive Kopplungskonstante, die die Reaktion der makroskopischen Raumzeit auf die fraktale Tiefenstruktur beschreibt.
- Die numerische Größe von ℓ_P lässt sich aus der Kombination von ℓ_P , ℓ_0 , ℓ_{eff} und den zugehörigen Energiedichten ableiten.
- Gravitation wird nicht über eine beliebig ange-setzte Lagrangedichte hineinrepariert, sondern ergibt sich aus der zugrunde liegenden Zeitfeld-Geometrie.

Damit verschiebt sich der Status von ℓ_P : Von einer "ursprünglich gesetzten" Konstanten hin zu ei-ner Größe, die denselben geometrischen Ur-sprung

hat wie die Leptonenmassen und die Feinstruktur-konstante.

6.4 Zusammenhang mit Lagran-gedichte und Feldgleichun-gen

In den technischen Kapiteln der FFGFT wurde ge-

zeigt, wie sich aus der fraktalen Zeitfeld-Dynamik

eine effektive Lagrangedichte für Materie- und Feldfreiheitsgrade ergibt. Statt von vornherein ei-

ne Einstein-Hilbert-Wirkung mit fester Gravitations-

konstante zu postulieren, wird die Kopplung an die

Geometrie aus der Struktur des Zeitfeldes heraus

konstruiert.

Aus narrativer Sicht genügt hier die Kernaussage; detaillierte Tabellen und Systematisierungen zu natürlichen Einheiten, SI-Umrechnungen und dem Status von \hbar und c finden sich in den T0-Einheitenarbeiten [Pascher(2025c), Pascher(2025d)]:

- Die gleichen Parameter \hbar , c , G und k_B , die Massen, Kopplungen und CMB/Casimir-Effekte organisieren, bestimmen auch die effektive Gravitationskopplung.

Einheitensysteme lassen sich so wählen, dass diese Zusammenhänge transparent werden und keine künstlichen Unendlichkeiten im UV-Bereich auftreten.

Auf diese Weise entsteht ein Bild, in dem alle zentralen Konstanten und Einheiten – von \hbar und den Leptonenmassen bis hin zu c und kosmologischen Skalen – als Ausdruck einer einzigen, durch \hbar gesteuerten Zeit-Masse-Geometrie erscheinen.

Kapitel 7

Kapitel 7: Gravitation und Gravitationskonstante aus ξ

Gravitation und
Gravitationskonstante
aus ξ

Im Hauptnarrativ der FFGFT taucht die Gravitationskonstante G bereits als emergente Größe auf: Sie wird nicht einfach postuliert, sondern folgt aus derselben fraktalen Zeit-Masse-Struktur, die Massen, Kopplungen und kosmische Skalen organisiert.

Dieses Kapitel gibt eine fokussierte Xi-Darstellung, wie G aus ξ hervorgeht, warum der Faktor ξ^2 entscheidend ist und was dies für die Schwäche der

Gravitation und die Stabilität des Universums bedeutet.

7.1 Von Planck-Einheiten zur fraktalen Geometrie

In der konventionellen Physik werden die Planck-

Einheiten aus ℓ_P , m_P und t_P konstruiert:

$$\ell_P = \sqrt{\frac{\hbar G}{c^3}} = \sqrt{\frac{1.054 \times 10^{-34} \text{ Js}}{9.81 \times 10^8 \text{ m/s}^2}} = \sqrt{1.07 \times 10^{-43} \text{ s}^2 \text{ m}} = 1.616 \times 10^{-35} \text{ m} \quad (7.1) \quad 3 \quad 5$$

Die Logik läuft dabei meist in eine Richtung: Man nimmt an, dass ℓ_P , m_P und t_P fundamental sind, und kombiniert sie dann, um charakteristische Skalen für Länge, Masse und Zeit zu erhalten. Im FFGFT-

/Xi-Bild wird diese Logik umgedreht:

- das zentrale Objekt ist die fraktale Zeit-Masse-Geometrie, organisiert durch den kleinen Parameter ℓ_P ;
- aus dieser Geometrie entstehen natürliche Ska-

len wie ℓ_0 , $m_0 = \frac{\hbar}{c \ell_P}$ und $t_0 = \frac{\hbar}{m_0 c}$; • ℓ_P wird aus diesen Skalen abgelesen, anstatt von vornherein eingesetzt zu werden.

Die Frage lautet also nicht „wie bauen wir Einheiten aus ℓ_P ?“, sondern „wie taucht ℓ_P als effektive Kopplung auf, wenn Materie und Geometrie bei-

de Ausdruck ein und derselben fraktalen Struktur sind?“.

7.2 Herleitung von ℓ_P aus ℓ_P

In der technischen Herleitung setzt man bei der Dynamik des Zeitfeldes und seiner Kopplung an die Vakuumdichte an. Auf Xi-Niveau genügt es, die zen-

trale Relation aus dem Hauptnarrativ in Erinnerung

zu rufen: $\ell_P^3 \ell_P^2 \ell_P^2 = \ell_P^7$. (7.2) Dabei bezeichnet ℓ_P die (konventionell definierte) Planck-Länge. Die neue Zutat ist der Faktor ℓ

davor. Ohne diesen Faktor wäre die naheliegende

Vermutung einfach $\ell_{\text{naiv}} \ell_P^3 \ell_P^2 / \ell$. Die FFGFT korrigiert diese Vermutung, indem sie den fraktalen Parameter einführt:

$$\ell = \ell_{\text{naiv}} \ell_P^2. \quad (7.3)$$

Numerisch bedeutet dies bei $\ell_P = 43 \times 10^{-4}$, dass ℓ gegenüber dem naiven Planck-Wert um fast acht Größenordnungen unterdrückt ist. Diese Unterdrückung

ist keine willkürliche Feineinstellung, sondern

ein direkter Ausdruck der fraktalen Tiefenstruktur

der Raumzeit.

7.3 Warum Gravitation so schwach ist

Aus rein dimensionaler Sicht gibt es keinen Grund,

warum die Gravitation so schwach sein sollte, wie

sie ist. Die gravitative Kopplung zweier Protonen $\ell_P^2 \ell_P^2 = \approx 10^{-38}$, (7.4) ℓ ist winzig im Vergleich zur elektromagnetischen

Feinstrukturkonstante $\ell \approx 1/137$. Alltagssprachlich: Gravitation ist gegenüber der Elektrodynamik um

etwa achtunddreißig Größenordnungen schwächer.

Im FFGFT-Rahmen wird diese enorme Hierarchie

dem Faktor Ω 2 zugeschrieben. Setzt man in obigem Ausdruck formal $\Omega = 1$, so wird die Gravitation stär-

ker um den Faktor

$1/2$ ($\Omega = 5,6 \times 10^7$. (7.5) Ω Ein Universum mit einem derart großen Ω würde sich dramatisch anders verhalten:

- Galaxien würden deutlich schneller kollabieren,

- stabile Sterne und Planetensysteme wären extrem unwahrscheinlich,

- kleine Inhomogenitäten würden so rasch wachsen-

sen, dass keine langlebigen, komplexen Strukturen entstehen könnten.

Aus Xi-Sicht ist die Schwäche der Gravitation daher kein separates Rätsel, sondern eine direkte

Folge der Kleinheit von Ω . Der gleiche Parameter, der Leptonenmassen und die CMB-Skala organisiert,

steuert auch die effektive Stärke von Ω .

7.4 Beziehung zum Zeitfeld

Ein zentrales Motiv des Xi-Narrativs ist, dass Zeit

kein vorgegebenes Hintergrundobjekt ist, sondern

eine abgeleitete Struktur. Infinitesimale Intervalle Δt folgen aus der Phasenentwicklung Φ eines Vakuumfeldes, skaliert mit Dichte und Ω . In dieser Sicht beschreiben Krümmung und Gravitation, wie sich

die Phasenstruktur des Vakuums über Skalen hinweg organisiert.

Das Auftauchen von $\frac{1}{\sqrt{2}}$ aus $\frac{1}{\sqrt{2}}$ lässt sich genau so lesen:

- die Kombination $\frac{1}{\sqrt{2}} \frac{3}{\sqrt{2}} \frac{2}{\sqrt{2}}$ / kodiert, wie schnell Störungen propagieren können und wie Quantenfluk-

tuationen auf die Geometrie zurückwirken,

- der Faktor $\frac{1}{\sqrt{2}}$ 2 misst, wie tief das Vakuum gefaltet ist, d.h. wie viel zusätzlicher "Raum" für Struk-

tur jenseits eines rein dreidimensionalen Bildes vorhanden ist,

- das Produkt beider setzt die Stärke, mit der das

Zeitfeld auf Materie- und Energiedichten reagiert.

Gravitation ist damit eine effektive Beschreibung dafür, wie sich das fraktale Zeitfeld selbst organi-

siert. In Bereichen, in denen sich die Faltungstiefe

kaum ändert, sind Einsteins Feldgleichungen mit einem nahezu konstanten $\frac{1}{\sqrt{2}}$ eine ausgezeichnete Näherung. Wo sich die Faltungstiefe deutlich ändert,

kann der effektive Wert von $\frac{1}{\sqrt{2}}$ prinzipiell skalenabhängig werden.

7.5 Vergleich mit der Wahl $\frac{1}{\sqrt{2}}=1$ In natürlichen Einheiten ist es üblich, $\frac{1}{\sqrt{2}}=1$ zu setzen, um Formeln zu vereinfachen. Aus Xi-Sicht ent-

spricht dies dem Verstecken wichtiger geometrischer Information:

- mit $\frac{1}{\sqrt{2}}=1$ normiert man die explizite Sensitivität auf $\frac{1}{\sqrt{2}}$ weg,

- die Unterscheidung zwischen Bereichen, in de-

nen Gravitation effektiv schwächer oder stärker ist, wird weniger transparent,

- der Zusammenhang zwischen Gravitationskopp-

lung und den Skalen ℓ_0 , ℓ_0 und ℓ_0 ist nicht mehr auf einen Blick erkennbar.

Für grobe Größenordnungsabschätzungen mag dies zulässig sein. Für das FFGFT-Programm – das

gerade darauf zielt, Konstanten wie ℓ_0 in wenigen geometrischen Parametern auszudrücken – ist es jedoch entscheidend, ℓ_0 explizit zu belassen. Nur so lässt sich sehen, wie sich eine Änderung von ℓ_0 durch das gesamte Netz der Skalen hindurch fort-pflanzen würde.

7.6 Ausblick

Dieses Kapitel hebt eine Kernbotschaft hervor:

Im

FFGFT-/Xi-Rahmen ist die Gravitationskonstante keine unabhängige Eingangsgröße, sondern Teil desselben fraktalen Musters, das Massenska-

len,

Kopplungen und kosmologische Observablen ver-

einheitlicht. Die Formel

$\ell_0^3 \ell_0^2 \ell_0^2 = \ell_0^7$ (7.6) Sie fasst zusammen, wie die Tiefenstruktur der

Raumzeit, kodiert in ℓ_0 , die scheinbare Schwäche der Gravitation bestimmt.

Kapitel 8

Kapitel 8: Singularitäten und natürlicher UV-Cutoff

Singularitäten und
natürlicher UV-Cutoff
In vielen Standardmodellen der Physik treten
for-
male Unendlichkeiten auf: Divergierende Inte-
grale
in der Quantenfeldtheorie, Singularitäten in
schwar-
zen Löchern oder ein punktförmiger Anfang des
Universums. Üblicherweise werden diese
Proble-
me durch Hilfsverfahren wie Renormierung,
künstli-
che UV-Cutoffs oder spezielle
Anfangsbedingun-
gen entschärft. Die Zeit-Masse-Dualität und die
fraktale Raumzeitstruktur der FFGFT schlagen
ei-

nen anderen Weg ein: Die zugrunde liegende Geometrie ist so organisiert, dass echte physikalische

Unendlichkeiten gar nicht erst entstehen.

8.1 Mathematische Singularitäten als Artefakte

Singularitäten entstehen in der Regel dann, wenn eine Theorie außerhalb ihres Gültigkeitsbereichs

ex-

trapoliert wird. Ein klassisches Beispiel ist die Punktladung in der Elektrodynamik, deren Feldenergie

formal divergiert, wenn man den Abstand exakt auf Null setzt. Auch in der Allgemeinen Relativitätstheorie treten bei der Beschreibung schwarzer Löcher

und im Standard-Big-Bang-Modell Divergenzen der Krümmung auf.

Die FFGFT interpretiert diese Singularitäten als Hinweis darauf, dass die Annahme einer exakt glatten, kontinuierlichen Raumzeit bis zu beliebig kleinen Skalen unphysikalisch ist. Sobald man die fraktale Dimension

$d_{\text{eff}} = 3 - \frac{1}{\alpha}$ (8.1)

und eine minimale effektive Längenskala berücksichtigt, verschwinden die formalen Unendlichkeiten

berücksichtigt, verschwinden die formalen Unendlichkeiten

berücksichtigt, verschwinden die formalen Unendlichkeiten

$$d_{\text{eff}} = 3 - \frac{1}{\alpha} \quad (8.1)$$

berücksichtigt, verschwinden die formalen Unendlichkeiten

berücksichtigt, verschwinden die formalen Unendlichkeiten

ten und werden durch große, aber endliche Beiträge ersetzt.

8.2 Fraktale Dimension und UV-Verhalten

Wie im vorherigen Kapitel erläutert, führt die Absenkung von Λ gegenüber 3 dazu, dass Integrale, die in exakt dreidimensionalen Theorien divergieren

würden, abgeschwächt werden. Auf sehr kleinen

Skalen wirkt die fraktale Struktur wie ein eingebauter UV-Cutoff:

- Volumenelemente wachsen etwas anders als in

der glatten 3D-Geometrie.

- Effektive Phasenräume für hochenergetische Moden

werden reduziert.

- Selbstenergien und Schleifenbeiträge bleiben endlich und werden durch Λ und die zugehörigen Skalen fixiert.

In dieser Sicht ist ein UV-Cutoff keine frei gewählte Rechengröße, sondern Ausdruck der realen

geometrischen Struktur der Raumzeit. Die Theorie selbst kennt keine unendlichen Energiedichten,

sondern nur die Grenze ihrer effektiven Beschreibung

auf Skalen unterhalb der durch Λ bestimmten Längen.

8.3 Minimale Längenskalen und Zeit-Masse-Struktur

Die FFGFT arbeitet mit einer Hierarchie von Längenskalen: von sehr kleinen, fraktal organisierten

Tiefenstrukturen bis hin zu makroskopischen Bereichen, in denen die Raumzeit praktisch glatt

erscheint. Auf den tiefsten Ebenen gibt es eine minimale effektive Längenskala, unterhalb derer es

keinen Sinn mehr ergibt, von klassischen Punkten zu sprechen.

Narrativ gesprochen bedeutet das:

- Die Zeit-Masse-Struktur besitzt eine endliche Faltdichtedichte; sie kann dichter, aber nicht unendlich dicht werden.

- Regionen großer effektiver Masse entsprechen stark gefalteter Zeit, nicht einem "Loch" mit unendlicher Krümmung.

- Auch im frühen Universum wird eine extrem dichte, aber endliche Anfangskonfiguration

beschrieben, keine mathematische Singularität. Damit wird der Begriff der Singularität durch eine geometrisch organisierte Sättigung ersetzt:

Wo klassische Theorien unendliche Größen vorhersagen, beschreibt die FFGFT Bereiche, in denen die

fraktale Struktur ihre maximale Dichte erreicht.

8.4 Konsequenzen für schwarze

Löcher und den Urknall

Für schwarze Löcher bedeutet dies, dass der innere

Bereich nicht als Punkt mit unendlicher Krümmung

verstanden wird, sondern als Zone, in der die Zeit-

Masse-Struktur maximal gefaltet ist. Die klassische

Horizontstruktur bleibt als effektive Grenze für Beobachter erhalten, aber im Inneren verhindert die

fraktale Geometrie das Auftreten unendlicher Energiedichten.

Ähnlich wird der Anfang des Universums nicht als unendliche Dichte beschrieben, sondern als Übergangsphase, in der sich die fraktale Tiefenstruktur der Raumzeit von einem nahezu homogenen Zustand zu der heutigen, hierarchisch organisierten Struktur entwickelt. Skalen wie die CMB-Temperatur und charakteristische Hubble-Größen erscheinen in diesem Bild als Folge dieser Entwicklung, nicht als Folge einer mathematischen Singularität.

Insgesamt ersetzt die Zeit-Masse-Dualität die Vorstellung physikalischer Unendlichkeiten durch

eine konsistente, durch Λ gesteuerte Geometrie mit natürlichem UV-Cutoff. Dies schließt an die bereits

diskutierten Zusammenhänge zwischen Λ , Massen, Kopplungen, Casimir-Effekt und Kosmologie an und

verbindet mikroskopische und kosmologische Skalen

in einem gemeinsamen Rahmen.

Kapitel 9

Kapitel 9: Kosmologie, Rotverschiebung und CMB in der Zeit-Masse-Dualität

Kosmologie,
Rotverschiebung und
CMB in der
Zeit-Masse-Dualität

In den vorangegangenen Kapiteln stand die
mikro-

skopische Seite der Zeit-Masse-Dualität im
Mittel-

punkt: Massen, Kopplungen und Quantenphänomene. In diesem Kapitel wird skizziert, wie sich dieselbe Struktur auf großskalige Phänomene der

Kosmologie auswirkt: Rotverschiebung, kosmische

Hintergrundstrahlung und effektive Größen wie die

Hubble-Skala.

9.1 Rotverschiebung ohne expandierenden Raum

Die Standardkosmologie deutet die kosmologische

Rotverschiebung hauptsächlich als Folge einer expandierenden Raumzeit. Die Wellenlänge eines Pho-

tons wird mit dem kosmischen Skalenfaktor mitge-

dehnt; Entfernungen wachsen mit der Zeit. Im Rahmen der Zeit-Masse-Dualität wird ein anderes Bild vorgeschlagen. Die beobachtete Rotver-

schiebung wird hier im Wesentlichen als Folge ei-

ner sich verändernden fraktalen Tiefenstruktur des

Raumes verstanden:

- Die effektive Tiefe der Zeit-Masse-Struktur nimmt im Laufe der kosmischen Entwicklung zu.

- Licht, das durch Regionen mit unterschiedlicher

fraktaler Tiefe läuft, erfährt dabei systematische Verschiebungen seiner Frequenz.

- Der beobachtete Zusammenhang zwischen

Rot-

verschiebung und Entfernung spiegelt somit vor allem Unterschiede in der Tiefenstruktur wider,

nicht zwangsläufig ein "Auseinanderfliegen" des Raumes.

Mehrere unabhängige Beobachtungen – etwa Spannungen in der Bestimmung der Hubble-

Konstanten und bestimmte großskalige Strukturen

– legen nahe, dass die reine Expansionsdeutung unvollständig ist. Die FFGFT bietet hier eine konsistente Alternative, in der die Rotverschiebung

als

Tiefen-Effekt der Zeit-Masse-Dualität verstanden

wird.

9.2 CMB-Temperatur und charakteristische Skalen

Die kosmische Mikrowellen-Hintergrundstrahlung

(CMB) besitzt heute eine Temperatur von rund 2,73 K. In der Standarddeutung ist dies die abgekühlte Reststrahlung eines früheren, viel heißeren Zustands des Universums.

In der Zeit-Masse-Dualität wird die CMB-Temperatur als makroskopische Manifestation der durch ℓ bestimmten Skalenstruktur interpretiert. Vereinfacht gesagt sitzt die CMB auf einer energetischen Skala, die aus den gleichen fraktalen Mechanismen hervorgeht, die auch die Leptonenmassen und die Feinstrukturkonstante organisieren.

Narrativ formuliert:

- Die Zahl ℓ fixiert eine Hierarchie von Energieskalen im Vakuum.

- Diese Hierarchie bestimmt die typische Energie

der Hintergrundphotonen, die wir als CMB messen.

- Die beobachtete Temperatur ist somit kein Zufallsprodukt, sondern Ausdruck derselben geometrischen Ordnung, die auch im Bereich der

Teilchenphysik greift.

9.3 Effektive Hubble-Skala und Entfernungen

Auch Größen wie der sogenannte Hubble-Radius

lassen sich in der FFGFT neu lesen. Anstatt einer fest eingebauten Expansionsrate beschreibt die ef-

fektive Hubble-Skala hier eine Kombination aus frak-
talen Tiefenentwicklung und lichtlaufzeitbeding-
ten

Effekten.

Licht, das von weit entfernten Objekten stammt, durchläuft Regionen mit unterschiedlicher Zeit-Masse-Struktur. Die daraus entstehenden Verzö-

gerungen und Frequenzverschiebungen führen zu

denselben beobachtbaren Zusammenhängen wie

in einem expandierenden Modell, werden aber als

geometrische Tiefenwirkung gedeutet.

9.4 Beobachtungen

Die fraktale Kosmologie der FFGFT steht nicht im

Widerspruch zu den präzisen Messungen der CMB-

Anisotropien, der Supernova-Daten und der groß-

skaligen Strukturbildung, bietet aber eine andere Interpretation ihrer Ursachen. Mehrere Befunde

– et-

wa Spannungen zwischen verschiedenen Hubble-
Bestimmungen oder Hinweise auf skalenabhängige
Effekte – lassen sich in diesem Rahmen natürlich einordnen; eine detaillierte Diskussion und der Ver-
gleich mit Standardmodell-Kosmologie finden sich
in den T0-Dokumenten zur geometrischen Kosmo-
logie [Pascher(2025e)].
Die bisherigen Ergebnisse sprechen dafür, dass die gängigen Interpretationen an entscheidenden
Stellen unvollständig sind und eine fraktale Tiefen-
struktur eine zentrale Rolle spielt.
9.5 Ausblick und weiterführende
Texte
Die hier dargestellte Zeit-Masse-Dualität bildet ei-
nen konzentrierten Kern der FFGFT. Für eine breite-
re Einbettung in sieben grundlegende Rätsel der Physik sowie für die ausführliche geometrische Gehirn-Analogie stehen zwei ergänzende Darstel-
lungen zur Verfügung: ein Band, der die sieben Rät-
sel systematisch diskutiert, und ein Band, der das
kosmische "Gehirn" als anschauliche Metapher für

die fraktale Tiefenstruktur der Raumzeit entfaltet.

Beide Texte greifen dieselben Parameter und Strukturen auf, vertiefen aber jeweils unterschiedliche Aspekte und können zusammen mit der vorliegenden Darstellung als zusammenhängendes Ganzes gelesen werden.

Kapitel 10

Kapitel 10: Präzisionstests und Beobachtungen

Präzisionstests und
Beobachtungen

In den vorangegangenen Kapiteln wurden die
zen-

tralen Bausteine der Zeit-Masse-Dualität vorge-
stellt: die Zahl $\frac{1}{2}$, die fraktale Dimension $\frac{1}{2}$ = 3 -
 $\frac{1}{2}$, die Leptonenmassen, die Feinstrukturkonstante,
fraktale Vakuumskalen und ihre Rolle in
Quantenme-

chanik, Quantenfeldern und Kosmologie. In die-
sem

Kapitel werden ausgewählte Beobachtungen
und

Rechnungen zusammengestellt, die als erste
Prüf-

steine für dieses Bild dienen.

Der Schwerpunkt liegt dabei auf der Frage, wo

die Theorie bereits eine bemerkenswerte Quanti-

tätsnähe erreicht und wo bewusste Vorsicht ange-

bracht ist, weil Rechnungen oder Datenlage noch

nicht abschließend geklärt sind.

10.1 Leptonen und Feinstrukturkonstante

Ein erster, besonders klarer Test betrifft die Leptonenmassen und die Feinstrukturkonstante.

Aus-

gehend von der Hierarchie der Leptonenmassen ergibt sich eine emergente Skala

$m_0 \approx 7,4 \text{ MeV}$, (10.1)

und aus der in Kapitel 2 diskutierten Beziehung

$m_0 = m_e \left(\frac{1}{\alpha} \right)$ (10.2) 1 MeV folgt numerisch

$\approx 137,036$, (10.3)

in sehr guter Übereinstimmung mit den präzisen CODATA-Werten.

Narrativ gesprochen: Hier zeigt sich, dass die Kombination aus m_0 , fraktaler Dimension und Massenhierarchie nicht nur qualitativ, sondern auch quanti-

tativ getragen wird. Gleichzeitig bleiben experimenten-

telle und theoretische Unsicherheiten zu berücksichtigen, etwa durch neue Messungen oder höherordentliche Korrekturen; dieses Zusammenspiel

wird laufend aktualisiert und ist kein abgeschlossener Punkt.

10.2 Anomale magnetische Mo-

mente und Muon- $g-2$ Die anomalen magnetischen Momente von Elektron und Myon gehören zu den präzisen Testfeldern der modernen Physik. Die Diskussion um das

Muon- $g-2$ zeigt, dass selbst kleine Unterschiede zwischen Theorie und Experiment intensive Debatten auslösen können.

Im Rahmen der FFGFT lässt sich die Struktur der Korrekturen geometrisch einordnen: Schleifenbeiträge und Vakuumpolarisation werden durch die

fraktale Dimension reguliert und erhalten feste Skalenbezüge. Gleichzeitig wird hier bewusst Zurückhaltung geübt: Die genaue Höhe der Abweichung hängt von vielen Details der Standardrechnungen und neuen Datenauswertungen ab.

An dieser Stelle ist es wichtiger, den prinzipiellen Mechanismus zu verstehen – nämlich dass dieselbe Geometrie, die Leptonenmassen und Kopplungen organisiert, auch in präzisen Schleifenkorrekturen sichtbar wird – als frühzeitig weitreichende Schlüsse aus einzelnen Zahlen zu ziehen.

10.3 Casimir-Effekt und Laborvakuum

Der Casimir-Effekt liefert eine direkte Laborprobe

für Vakuumkräfte im Mikrometerbereich. In Kapitel 5 wurde gezeigt, dass sich mit einer durch bestimmten Vakuumskala im Bereich von etwa 100 μm eine Beziehung der Form

$$\frac{F_{\text{Casimir}}}{A} = (10.4) \text{ CMB } \frac{1}{4}$$

so formulieren lässt, dass die modifizierte Casimir-

Formel exakt wieder die etablierte Standardform

$\frac{F_{\text{Casimir}}}{A} = (10.5) \text{ Casimir } \frac{1}{4}$ reproduziert.

Dies verbindet CMB und Casimir-Effekt zu zwei Seiten derselben fraktalen Vakuumstruktur. Die prä-

zisen Messungen des Casimir-Effekts fungieren da-

mit als Laborbestätigung dafür, dass die durch organisierte Tiefenstruktur physikalisch wirksam ist. Hier liegt eine der robustesten Rückkopplungen

zwischen Theorie und Experiment im Rahmen der

FFGFT vor.

10.4 Kosmologische Spannungen und Tiefenstruktur

Auf kosmologischer Seite haben sich in den letzten

Jahren mehrere Spannungen herausgebildet, etwa

unterschiedliche Werte der Hubble-Konstanten aus

lokalen Messungen und aus CMB-Analysen. Die

fraktale Kosmologie der FFGFT interpretiert solche

Spannungen als Hinweis darauf, dass die reine Expansion

deutung der Rotverschiebung unvollständig

ist und Tiefenstruktur eine Rolle spielt.

Wichtig ist hier eine differenzierte Sicht:

- Die FFGFT steht nicht im Widerspruch zu den präzisen Daten, sondern bietet eine alternative Lesart der zugrundeliegenden Geometrie.

- Ob diese Lesart allen zukünftigen Messungen standhält, bleibt Gegenstand laufender Analysen.

- Erste Vergleiche zeigen, dass viele beobachtete

Effekte natürlich in die Zeit-Masse-Dualität eingebettet werden können, ohne neue dunkle

Kom-

ponenten einzuführen.

10.5 Quantencomputer, Simulationen und numerische

Tests

Im Bereich der Quanteninformation liefern Simulationen

von Algorithmen wie dem Shor-Verfahren weitere Anknüpfungspunkte. Wie in Kapitel 4

be-


schrieben, lassen sich logische Zustände als Besetzungen fraktaler Grundfunktionen \mathbb{Z}^d

(\mathbb{Z}) deuten, und typische Algorithmen nutzen Interferenzmuster,

die aus dieser Struktur hervorgehen.

Numerische Simulationen zeigen, dass Erfolgs-

chancen und Interferenzstrukturen der Standardalgorithmen reproduziert werden können, wenn man

die durch  vorgegebenen Skalen konsistent einbaut. Diese Ergebnisse sind eher konzeptionelle Bestätigungen als präzise Messwerte; sie zeigen,

dass die Zeit-Masse-Dualität auch dort tragfähig ist, wo Quanteninformation und Feldtheorie aufeinanderandertreffen.

10.6 Attosekunden-Entstehung von Quantenverschränkung

Eine aktuelle theoretische Studie von Jiang et al. [Jiang et al.(2024)] zeigt, dass Quantenverschränkung in einem Helium-System unter intensi-

ven EUV-Pulsen nicht instantan entsteht, sondern

sich über ein lokales Zeitfenster von rund 232 as aufbaut. Die Endenergie des gebundenen Elektrons korreliert dabei direkt mit der Austrittszeit des ent-

weichenden Elektrons, so dass sich die gemeinsa-

me Quantengeschichte rekonstruieren lässt; vor-

geschlagen wird ein Doppelpuls-Experiment mit Koinzidenzdetektion. Aus Sicht der Zeit-Masse-Dualität liefert dies einen starken konzeptionellen Hinweis darauf, dass Verschränkung ein zeitlich aufgelöster, kausaler Prozess innerhalb eines endlichen Interaktionsfensters ist und keine

„spukhafte Fernwirkung“ erfordert. Eine ausführli-

che Diskussion findet sich im eigenständigen T0-

Dokument Attosekunden-Vorhersage zur Entste-

hung von Quantenverschränkung als Beleg für die

T0 -Time-Mass-Duality-Theorie [Pascher(2026b)].

10.7 Zusammenfassung

Die hier skizzierten Präzisionstests und Beobach-

tungen liefern verschiedene Blickwinkel auf ein und

denselben geometrischen Kern. An einigen Stellen

– etwa bei Leptonenmassen, Feinstrukturkonstante

und Casimir-Effekt – ist die Übereinstimmung be-

reits beeindruckend konkret. An anderen Punkten –

insbesondere bei Muon- $g-2$ und kosmologischen

Spannungen – wird bewusst vorsichtig argument-

tiert und Raum für künftige Daten gelassen.

Insgesamt zeichnet sich das Bild ab, dass die

Zeit-Masse-Dualität nicht nur ein elegantes theore-

tisches Konstrukt ist, sondern an vielen Fronten mit

der beobachteten Physik in Verbindung steht.

Kapitel 11

Kapitel 11: Rechnen mit der Zeit-Masse-Dualität

Rechnen mit der

Zeit-Masse-Dualität

Dieses Kapitel bietet einige durchgehende Rechen-

beispiele, die zeigen, wie sich mit wenigen Formeln der Zeit-Masse-Dualität konkrete Größen abschätzen lassen.

Die Beispiele sind bewusst einfach

gehalten und ersetzen keine vollständigen technischen

Ableitungen, machen aber die Funktionsweise

des Ansatzes transparent.

11.1 Von m_e und m_μ zur Feinstrukturkonstante
Ausgangspunkt ist die Zahl

$\alpha = \frac{e^2}{4\pi\epsilon_0\hbar c} \approx 1/137$ (11.1) und die aus der Leptonenhierarchie gewonnene

Skala

$$\lambda_0 \approx 7,4 \text{ MeV. (11.2)}$$

Die in früheren Kapiteln eingeführte Beziehung lautet $\lambda_0(\lambda_0, \lambda_0) = \lambda_0$. (11.3) 1 MeV Setzt man die Werte ein, erhält man schematisch

$$\lambda_0 \approx (43 \times 10^{-4}) \times (7,4)^2. (11.4)$$

Die Quadratur liefert

$$(7,4)^2 \approx 54,76, (11.5)$$

so dass

$$\lambda_0 \approx 43 \times 10^{-4} \times 54,76 \approx 0,007297 (11.6)$$

und damit $\approx 137,0$. (11.7) Feinheiten wie Rundungsfehler und höherordentliche Korrekturen verschieben die letzte Nachkom-

mastelle; entscheidend ist hier, dass die Struktur $\lambda_0 \approx 0,007297$ (11.8)

mit der beobachteten Feinstrukturkonstante verein-

bar ist. Das Beispiel zeigt, wie direkt λ_0 und eine einzige Skala λ_0 in eine zentrale Naturkonstante eingehen.

11.2 Von der CMB-Energiedichte

zur Skala L_ξ

Ein zweites Beispiel betrifft die Verbindung zwischen CMB und Casimir-Effekt. Ausgehend von der

beobachteten Energiedichte der kosmischen Hin-

tergrundstrahlung ρ_{CMB} und der Beziehung

$$\rho_{\text{CMB}} = \frac{4\sigma T^4}{15\pi^2} (11.9)$$

öffnet sich die Möglichkeit, eine charakteristische

Vakuumlänge λ_0 abzuschätzen. Löst man die Gleichung nach λ_0 auf, erhält man $\frac{1}{4} \frac{15\pi^2}{4\sigma} \rho_{\text{CMB}} = \lambda_0$. (11.10) λ_0 CMB

Setzt man die bekannten Werte für \hbar und c in die Formel für die CMB-Energiedichte ein, ergibt sich ein Wert von der Größenordnung $\rho_{\text{CMB}} \approx 10^{-14} \text{ J/m}^3$. (11.11)

Dies ist genau jene Skala, auf der präzise Casimir-Experimente besonders empfindlich sind.

Damit verbindet die Zeit-Masse-Dualität eine kosmologische Größe (CMB-Energiedichte) mit einem

Laborphänomen im Mikrometerbereich.

11.3 Fraktale Dimension als Alltagsnäher Wert

Die fraktale Dimension der Raumzeit lautet

$$D_{\text{fraktal}} = 3 - \epsilon \approx 2,999867. \quad (11.12)$$

Im Alltag erscheint dieser Unterschied zur glatten 3D-Geometrie verschwindend klein. Für Integrale über extrem hohe Impulse oder sehr kleine Abstände wirkt er jedoch wie ein zusätzlicher Exponent, der über Konvergenz oder Divergenz entscheidet.

Eine einfache Heuristik lautet:

- Wo klassische Theorien Integrale der Form $\int d^3x$ verwenden, tritt in der FFGFT effektiv ein leicht verändertes Maß $\int d^3x (1 - \epsilon)$ auf.
- Die winzige Absenkung von D_{fraktal} reicht aus, um viele divergente Beiträge in endlich regulierte Größen zu übersetzen.

Diese Alltagsperspektive macht deutlich, dass

die Zahlenwerte von $\frac{h}{mc}$ und $\frac{h}{m_0 c}$ nicht losgelöst von den bekannten Dimensionen stehen, sondern diese

nur minimal verschieben – mit großer Wirkung im UV-Bereich.

11.4 Wie man weiterrechnet

Die hier gezeigten Beispiele sind bewusst einfach

gehalten und sollen dazu einladen, eigene Überschlagsrechnungen anzustellen. Wer tiefer in die

Details einsteigen möchte, findet in den technischen Bändern der FFGFT vollständige Ableitungen

und numerische Studien.

Für die praktische Arbeit bietet es sich an,

- zentrale Formeln der Zeit-Masse-Dualität (z.B. für $\frac{h}{mc}$, $\frac{h}{m_0 c}$, $\frac{h}{m_0 c}$) als Ausgangspunkt zu nehmen,
- zunächst rein verhältnisbasiert und mit ganzzahligen oder rationalen Zahlen zu rechnen (ohne frü-

he Gleitkomma-Approximationen und ohne frühe

Einführung von Konstanten wie $\frac{h}{mc}$), um numerische Präzision bei sehr kleinen Größen zu behalten,

- die Auswirkungen kleiner Variationen von $\frac{h}{mc}$ oder der Skalen abzuschätzen und

- neue Daten – etwa zu präzisen Konstanten oder

Casimir-Messungen – systematisch gegen diese Strukturen zu prüfen.

Auf diese Weise wird die Zeit-Masse-Dualität

zu einem handhabbaren Werkzeug: Sie liefert nicht nur eine konzeptionelle Erklärung, sondern auch konkrete Rechenwege, mit denen sich bekannte und neue Phänomene quantitativ einordnen lassen.

Kapitel 12

Kapitel 12: Natürliche Einheiten und neu gelesene Konstanten

Natürliche Einheiten
und neu gelesene
Konstanten

In den bisherigen Kapiteln wurden bereits mehre-

re Skalen eingeführt, die sich direkt aus der Zeit-Masse-Dualität und dem Parameter \hbar ergeben: die Energieskala $\hbar\omega_0$ im MeV-Bereich, eine minimale Längenskala $\hbar\omega_0/c = \hbar/mc$ im Sub-Planck-Bereich und ei-

ne Vakuumlängenskala \hbar/m_0c im Bereich von 100 μm .

Dieses Kapitel erläutert, warum die Verwendung natürlicher Einheiten der Schlüssel zum Verständ-

nis dieser Zusammenhänge ist – und warum einige

vertraute Einheiten (etwa das Coulomb) in diesem

Rahmen neu gelesen werden müssen.

12.1 Warum natürliche Einheiten?

Das internationale Einheitensystem (SI) ist auf praktische Messbarkeit und technische Anwendungen

optimiert: Meter, Kilogramm, Sekunde, Ampere und

Kelvin sind historisch gewachsene Größen, die sich

an Laborstandards orientieren. Für die Struktur der

fundamentalen Gesetze sind sie jedoch oft ungünstig, weil sie zentrale Konstanten wie \hbar , und die

Elementarladung e in die Einheiten selbst „hineinstecken“.

Natürliche Einheiten verfolgen einen anderen Ansatz:

- Man setzt fundamentale Konstanten wie \hbar und c gleich Eins.

- Längen, Zeiten und Energien werden direkt ineinander umgerechnet.

- Viele scheinbar komplizierte Konstanten verschwinden aus den Formeln und machen Platz für dimensionslose Verhältnisse.

Wichtig ist dabei: $\hbar = 1$ bedeutet nicht, dass

„Energie und Masse immer gleich sind“, sondern dass

im Ruhesystem eines Teilchens $E = mc^2$ die bekannte Relation $E = mc^2$ abkürzt; dynamisch bleibt

die volle Gleichung $\hbar^2 = \hbar^2 + \hbar^2$ erhalten. Sinngemäß gilt dies auch für $\hbar = 1$ und (in geeigneter Normierung)

$\hbar \approx 1/137$: Das Setzen auf Eins ist eine Schreibweise, keine neue Physik – der logische Schritt zurück

zu den physikalischen Größen muss immer explizit

mitgedacht und am Ende durch Einheitenprüfung

vollzogen werden.

Im Kontext der Zeit-Masse-Dualität dienen Größen wie \hbar^0 , \hbar^0 und $\hbar^0 \hbar^0$ als natürliche Maßstäbe eines fraktal organisierten Raumes; ihre volle Bedeutung

zeigt sich jedoch erst, wenn man nach einer Rechnung

in natürlichen Einheiten wieder sorgfältig

die gewohnten SI-Einheiten zurückkonvertiert und

die Skalen mit den Messdaten vergleicht.

12.2 Die doppelte Sicht auf \hbar , \hbar und Die Feinstrukturkonstante \hbar ist das klassische Beispiel dafür, wie sehr die Wahl der Einheiten das

Verständnis beeinflusst. In SI-Schreibweise lautet

eine verbreitete Form

$$\hbar^2 \hbar^0 = , (12.1) 4 \hbar^0 \hbar^0$$

wo \hbar die Elementarladung, \hbar^0 die elektrische Feldkonstante, \hbar^0 das reduzierte Plancksche Wirkungs-

quantum und \hbar die Lichtgeschwindigkeit ist.

Diese Darstellung suggeriert vier voneinander

unabhängige Größen. In natürlichen Einheiten mit

$\frac{e}{m c^2} = 1$ und einer geeigneten Normierung des elektromagnetischen Feldes reduziert sich die Beziehung jedoch auf

$\frac{2}{3} \frac{e^2}{m c^2} = \frac{1}{137}$, (12.2) 4 so dass $\frac{e^2}{m c^2}$ direkt das Quadrat einer dimensionslosen Kopplung beschreibt.

Die Zeit-Masse-Dualität fügt eine zweite, komplementäre Sicht hinzu:

$\frac{0}{m c^2} = \frac{1}{137}$ (12.3) 1 MeV Die fraktale Struktur, die in dieser Beziehung

steckt, wird erst sichtbar, wenn man $\frac{e^2}{m c^2}$ in dieser Gestalt wieder in konkrete Einheiten und numerische

Werte zurückübersetzt. Damit zeigt sich $\frac{e^2}{m c^2}$ gleichzeitig

- als Verhältnis von Ladung zu den Licht- und Wir-

kungsquanten ($\frac{2}{3} \frac{e^2}{m c^2}$) und • als geometrisch organisierte Zahl aus $\frac{e^2}{m c^2}$ und der fraktal-emergenten Skala $\frac{0}{m c^2}$. Diese doppelte Sicht wird besonders transpa-

rent, wenn man die Einheiten so wählt, dass $\frac{e^2}{m c^2}$ und nicht als „Faktoren am Rand“, sondern als Strukturgeber der Skalen erscheinen.

12.3 Das Coulomb neu gelesen

Im SI-System ist die Einheit der Ladung, das Cou-

lomb, eine historisch definierte Größe, die über das

Ampere und letztlich über makroskopische Ströme

festgelegt wird. In einer FFGFT-Perspektive ist das

unbefriedigend, weil die grundlegenden Prozesse

im elektromagnetischen Sektor nicht von makrosko-

pischen Leiterströmen, sondern von quantisierten

Ladungsträgern und ihren Kopplungen an das Feld

bestimmt werden.

Natürliche Einheiten bieten hier eine klarere Sicht:

- Man normiert das elektromagnetische Feld so, dass $\frac{1}{4\pi\epsilon_0}$ eine dimensionslose Größe wird.
- Die effektive Einheit der Ladung wird durch $\frac{1}{4\pi\epsilon_0}$ und die Wahl von $\frac{1}{4\pi\epsilon_0}$ und $\frac{1}{4\pi\epsilon_0}$ bestimmt.
- Statt „Coulomb“ als eigener Basiseinheit tritt ei-

ne Geometrie, in der Ladung ein Maß dafür ist, wie stark ein Feld an der fraktalen Zeit-Masse-Struktur ansetzt.

$\frac{1}{4\pi\epsilon_0}$ kein frei justierbarer Parame- In diesem Bild ist

ter, sondern durch $\frac{1}{4\pi\epsilon_0}$ und die durch $\frac{1}{4\pi\epsilon_0}$ festgelegten

Skalen fixiert. Das SI-Coulomb lässt sich dann als

abgeleitete Größe interpretieren, die bei makrosko-

pischen Strömen praktisch ist, aber die zugrunde-

liegende Geometrie verdeckt.

12.4 Neu definierte Einheiten für eine klare Geometrie

Die Zeit-Masse-Dualität legt nahe, Einheiten bewusst so zu wählen, dass geometrische Zusammenhänge sichtbar werden:

- Die Basiseinheiten orientieren sich an natürlichen

Skalen wie $\frac{1}{\text{m}}$, $\frac{1}{\text{s}}$ und $\frac{1}{\text{kg}}$. • $\frac{1}{\text{m}}$ und $\frac{1}{\text{s}}$ werden als Umrechnungsfaktoren zwischen Zeit, Länge und Energie genutzt, nicht als „Zusatzzahlen“.

- Elektromagnetische Größen werden so normiert,

dass $\frac{1}{\text{m}}$ direkt als quadratische Kopplung erscheint.

Praktisch bedeutet dies zum Beispiel:

- Eine Energieeinheit im MeV-Bereich (nahe $\frac{1}{\text{m}}$) macht die Rolle der Leptonenskala sichtbar.

- Eine Längeneinheit im Bereich von $\frac{1}{\text{m}}$ hebt die Verbindung zwischen CMB und Casimir-Effekt hervor.

- Zeitabstände werden systematisch mit lokalen Massendichten verknüpft, wie es die Zeit-Masse-

Dualität nahelegt.

Solche Entscheidungen sind keine reine Geschmacksfrage, sondern bestimmen, ob Muster in den Daten als zusammenhängendes Ganzes erkannt werden oder hinter einer Vielzahl von Konver-

sionsfaktoren verschwinden.

12.5 Natürliche Einheiten als

Denkwerkzeug

Natürliche Einheiten zwingen dazu, Konstanten wie

$\frac{1}{\text{m}}$, und $\frac{1}{\text{s}}$ nicht als „Zierschrift“ in Formeln zu behandeln, sondern als Ausdruck konkreter geometrischer Strukturen. In der FFGFT werden diese Struk-

turen durch ℓ , die fraktale Dimension D_F und die daraus folgenden Skalen organisiert.

Wer in natürlichen Einheiten rechnet, sieht schneller, wo wirklich neue Physik steckt:

- Einheitenkonversionen verschwinden und machen Platz für dimensionslose Größen.
- Unterschiede zwischen Modellen lassen sich

klar

in veränderten Kopplungen oder Skalen verorten.

- Die Verbindung zwischen Mikro- und Makrowelt (von Leptonenmassen bis zu Hubble-Skalen)

wird als Beziehung weniger Zahlen und Skalen erkennbar.

In diesem Sinne sind natürliche Einheiten nicht nur ein technisches Hilfsmittel, sondern ein Denk-

werkzeug: Sie machen den geometrischen Kern der

Zeit-Masse-Dualität sichtbar und zeigen, wie ℓ , \hbar , und m als verschiedene Projektionen derselben fraktalen Struktur verstanden werden können.

12.6 Was beim Setzen von ℓ , \hbar und m auf Eins verloren geht In der Praxis ist es verführerisch, alle Konstanten

einfach „wegzunormieren“. Für das Xi-Narrativ ist

jedoch wichtig, welche Aspekte der fraktalen Struktur dabei unsichtbar werden:

- Setzt man $\ell = 1$, verschwindet die explizite Lichtgeschwindigkeit aus den Gleichungen. Die Lorentz-Struktur und die Trennung von Raum und

Zeit bleiben zwar erhalten, aber der Kontrast zwischen nichtrelativistischen und relativistischen Skalen wird weniger sichtbar.

- Setzt man $\alpha = 1$, verliert man die explizite Skala, ab wann Prozesse „quantenhaft“ werden. Der Grenzübergang $\alpha \rightarrow 0$ und der Vergleich „klein gegenüber“ versus „groß gegenüber“ verschwinden als eigene Schrittfolge aus den Formeln.

- Setzt man $\alpha = 1$, wird die Kopplung von Raumzeitkrümmung an Energie-Impuls dimensionslos.

Damit geht der direkte Bezug zwischen lokalen Dichten, Krümmungsradien und den fraktal organisierten Skalen $\alpha = 0$ und $\alpha = 1$ in einer Einheitswahl auf.

- Versucht man schließlich, α „auf Eins zu setzen“, wird nicht nur eine Einheit gewählt, sondern ein physikalische Annahme über die Stärke der elektromagnetischen Kopplung getroffen. In der FFGFT ginge damit gerade die Information verloren, dass α als fraktale Funktion der Skala gelesen werden kann – die feinstrukturierten Wechselwirkungen werden zu einer einzigen glatten Zahl zusammengepresst.

Historisch war dies auch der Ausgangspunkt der hier dargestellten FFGFT-Perspektive: Erst als $\alpha = 1$ in Zwischenrechnungen bewusst und gezielt gesetzt wurde, traten die zugrundeliegenden dreidimensionalen geometrischen Zusammenhänge klar

als

in Zwischenrechnungen bewusst und gezielt $\alpha = 1$ gesetzt wurde, traten die zugrundeliegenden dreidimensionalen geometrischen Zusammenhänge klar

dimensionalen geometrischen Zusammenhänge klar

hervor. Gerade der Vergleich zwischen diesem „geglätteten“ Bild und der später rekonstruierten fraktalen Skalenabhängigkeit machte sichtbar, welche zusätzliche Struktur in einer variablen, geometrisch organisierten Feinstrukturkonstante steckt. Für konkrete Rechnungen bedeutet das: Man kann in einem ersten Schritt mit $\epsilon = 1$ in einer geglätteten, dreidimensionalen Geometrie arbeiten, sofern in jeder Formel klar notiert ist, mit welcher Potenz ϵ wirklich eingeht (z.B. ϵ^2 , Energieniveaus ϵ^2 , Laufzeiten ϵ^{-1} usw.). In diesem Schritt werden alle Rechenschritte transparent, aber die fraktale Skalenabhängigkeit von ϵ ist bewusst „ausgeblendet“. In einem zweiten, ebenso systematischen Schritt werden die entsprechenden ϵ -Faktoren – mit der richtigen Potenz und an der richtigen Skala – bei der Rückkonvertierung explizit wieder eingesetzt und so die fraktale Kopplungsstruktur rekonstruiert. Erst hier entscheidet man, ob ϵ als konstant oder als laufende, fraktal organisierte Größe gelesen wird. Im Sinne des Xi-Narrativs kann man sagen: ϵ , und ϵ lassen sich als Umrechnungsfaktoren im Hintergrund verstecken, ohne die fraktale Struktur

prinzipiell zu zerstören; sie werden dann schwerer

zu sehen, bleiben aber konzeptionell vorhanden.

Würden wir dagegen auch \mathbb{R} konsequent auf Eins setzen, würde das Modell auf eine beinahe rein drei-

dimensionale, glatte Geometrie reduziert – gerade

jene feine fraktale Skalenstruktur der Kopplungen,

die das Xi-Buch herausarbeitet, ginge im Formalis-

mus verloren, auch wenn sie in den Daten weiterhin

wirkt.

12.7 Rechenbeispiele: \mathbb{R} bewusst aus- und wieder einschalten

Um dieses zweistufige Vorgehen greifbar zu machen-

chen, lohnt sich ein Blick auf konkrete Beispielrechnungen:

1. Geometrischer Schritt mit $\mathbb{R} = 1$: Zunächst werden alle relevanten Observablen so umgeschrieben, dass ihre Abhängigkeit von \mathbb{R} explizit ist, etwa $\mathbb{R}(\mathbb{R}) = \mathbb{R}(\mathbb{R})$ für einen Wirkungsquerschnitt, eine Energieverschiebung $\Delta \mathbb{R}$ oder eine Lebensdauer $\mathbb{R} - 1$. In diesem ersten Schritt setzt man $\mathbb{R} = 1$ und untersucht nur die

geometrischen Vorfaktoren $\mathbb{R}(\mathbb{R})$ und deren Abhängigkeit von Skalen wie \mathbb{R}_0 , \mathbb{R}_0 und \mathbb{R} .

2. Rekonstruktionsschritt mit physikalischem \mathbb{R} : In einem zweiten Durchgang werden die vollen \mathbb{R} -Faktoren mit der richtigen Potenz und an der passenden Skala wiederhergestellt und mit ih-

rem physikalischen Wert ausgewertet. Hier gehen die fraktale Laufung von ξ mit Energie oder Länge und die Interpretation der Daten als Projektion einer tieferen fraktalen Geometrie ein. Im Alltag kann ein Theoretiker daher im ersten Durchgang durchaus „vergessen“, dass ξ von der Skala abhängt, um zunächst nur die reine dreidimensionale Geometrie freizulegen – sofern die Buchführung über die Potenzen von ξ sauber erfolgt. Das Spezifische an der FFGFT-/Xi-Perspektive ist die Betonung, dass der zweite Schritt nicht optional ist: Gerade in der kontrollier-

ten Wieder-Einführung von $\xi(\xi)$ liegt der Schlüssel dazu, wie eine deterministische, fraktale Feldtheorie probabilistisch aussehende Daten reproduzieren und dennoch Raum für effektive Freiheit, emergente Entscheidungen und bewusste Agency auf makroskopischen Skalen lassen kann.

Kapitel 13

Kapitel 13: Warum Einheitenprüfung essenziell ist

Warum

Einheitenprüfung
essenziell ist

Natürliche Einheiten machen viele Formeln optisch

einfacher: Konstanten wie \hbar und c verschwinden aus der Schreibweise, und Kopplungen wie $\frac{1}{4\pi\epsilon_0}$ werden zu scheinbar reinen Zahlen. Gerade im Rahmen der Zeit-Masse-Dualität ist dies nützlich – aber

es

birgt auch die Gefahr, dass man vergisst, welche physikalischen Skalen im Hintergrund wirken.

Die-

ses Kapitel erläutert, warum eine systematische

Ein-

heitenprüfung unverzichtbar ist und wie sich daran

die fraktale Struktur erst vollständig offenbart.

13.1 Natürliche Einheiten als Zwischenraum

Wenn man in natürlichen Einheiten mit $\hbar = c = 1$ rechnet, werden viele Beziehungen sehr kompakt.

Zum Beispiel erscheint die Feinstrukturkonstante in

einer geeigneten Normierung einfach als

$\frac{1}{137} = \frac{e^2}{4\pi} \approx 10^{-4}$ und die durch \hbar organisierte Struktur als $\frac{1}{137} \frac{e^2}{\hbar} = \frac{1}{137} \left(\frac{1}{\text{fm}} \right) \cdot (13.2) \text{ MeV}$

In diesem Zwischenraum der natürlichen Einheiten ist die Geometrie besonders klar zu sehen.

Damit eine Aussage physikalisch überzeugend wird,

muss man jedoch den Rückweg antreten: von der

kompakten Schreibweise zur tatsächlichen Messgröße in SI-Einheiten.

13.2 Rückkonvertieren als Härtestest

Die fraktale Struktur und die durch \hbar definierten Skalen zeigen ihre Tragfähigkeit erst dann, wenn die Umrechnung nach SI-Einheiten konsistent alle

bekannten Zahlen reproduziert. Das bedeutet kon-

kret:

• Man startet mit einer einfachen Beziehung in na-

türlichen Einheiten (z.B. $\frac{1}{137} \frac{e^2}{\hbar} = \frac{1}{137} \left(\frac{1}{\text{fm}} \right) \cdot (13.2) \text{ MeV}$). • Man setzt systematisch alle Faktoren von \hbar , und den gewählten Basisgrößen wieder ein.

- Man setzt insbesondere \hbar in der Gestalt $\hbar = \hbar (10^{-19} \text{ J} / \text{MeV})^2$ wieder vollständig ein, statt sie als bloße Zahl zu behandeln.

- Man prüft, ob die resultierenden Werte für Ener-

gien, Längen und Zeiten mit den experimentellen Daten übereinstimmen.

Erst dieser Härtetest zeigt, ob eine scheinbar elegante Formel wirklich mehr ist als eine Zahlen-

spielerei. Für die Zeit-Masse-Dualität bedeutet das:

Die Abkürzung durch natürliche Einheiten ist hilfreich, aber der physikalische Inhalt entscheidet sich

bei der Rückübersetzung in konkrete Einheiten.

Ge-

fährlich sind dabei "clevere" Kürzungen: Wenn man

Konstanten wie \hbar , oder sogar \hbar vorschnell wegstreicht, kann die fraktale Struktur unsichtbar wer-

den und scheinbar zwingende, aber physikalisch

falsche Skalen entstehen. Gerade in natürlichen Ein-

heiten ist es verlockend, aus $\hbar = \hbar (10^{-19} \text{ J} / \text{MeV})^2$ sofort $\hbar = \hbar$ oder aus $\hbar = \hbar (10^{-19} \text{ J} / \text{MeV})^2$ eine reine Zahl zu machen; der korrekte physikalische Schluss erfordert

aber immer, die zugrunde liegenden Annahmen (Ru-

hesystem, Impuls, konkrete Skalen) mitzudenken

und am Ende explizit wieder einzusetzen.

13.3 Beispiel: CMB, Casimir und

Ein besonders anschauliches Beispiel ist die Beziehung

$\frac{h}{m_0 c \lambda} = \frac{h}{m_0 c} \frac{1}{\lambda} = \frac{h}{m_0 c} \frac{1}{\lambda_0} \frac{1}{\lambda/\lambda_0} = \frac{h}{m_0 c} \frac{1}{\lambda_0} \frac{1}{\gamma} = \frac{h}{m_0 c} \frac{1}{\lambda_0} \sqrt{1 - \beta^2}$, (13.3) CMB mit der sich eine charakteristische Längenskala abschätzen lässt.

In natürlichen Einheiten wirken γ und β wie harmlose Faktoren. Erst wenn man die SI-Werte für γ , β und CMB einsetzt und die Dimensionen sorgfältig

nachverfolgt, zeigt sich, dass $\frac{h}{m_0 c \lambda}$ tatsächlich im Bereich von $100 \mu\text{m}$ liegt – genau dort, wo Casimir-Experimente hochpräzise messen.

Ohne eine konsequente Einheitenprüfung könnte man diesen Zusammenhang leicht übersehen oder falsch einschätzen. Die fraktale Struktur wird

also nicht nur im Kopf sichtbar, sondern in der konkreten Rückrechnung auf reale Messgrößen.

13.4 Vermeidung von Scheinzusammenhängen

Umgekehrt hilft eine strenge Einheitenprüfung, zu-

fällige numerische Überlappungen von echten Zusammenhängen zu unterscheiden. Zwei Zahlen

mögen in natürlichen Einheiten ähnlich aussehen; wenn ihre Dimensionen sich unterscheiden, ist klar,

dass sie nicht direkt vergleichbar sind. Die Zeit-Masse-Dualität arbeitet daher konsequent mit dimensionslosen Kombinationen (wie $\frac{h}{m_0 c \lambda}$) und klar definierten Skalen (wie $\frac{h}{m_0 c}$, $\frac{h}{m_0 c \lambda_0}$, $\frac{h}{m_0 c \lambda_0 \gamma}$),

bevor Vergleiche gezogen werden. Jeder Schritt wird

durch Einheitenbuchhaltung begleitet:

- Welche Größe ist wirklich dimensionslos?
- Welche Kombinationen von \hbar , c und

Basiseinheiten treten auf?

• Wo können scheinbar ähnliche Zahlen in Wirklich-

keit verschiedene physikalische Inhalte haben?

13.5 Einheiten als Integritäts-

check der Theorie

Am Ende ist die Einheitenprüfung mehr als eine technische Formalität. Sie fungiert als Integritäts-

check der gesamten Theorie:

- Sie erzwingt Konsistenz zwischen geometrischem Bild und messbaren Größen.
- Sie macht sichtbar, ob eine vorgeschlagene

Be-

ziehung wirklich skalenverträglich ist.

- Sie schützt vor überdehnten Interpretationen scheinbar schöner Zahlen.

Für die FFGFT und die Zeit-Masse-Dualität bedeutet dies: Erst die Kombination aus natürlichen Einheiten und konsequenter Rückprüfung in SI-Einheiten legt offen, wie tief die fraktale Struktur in die beobachtete Physik eingreift. Natürliche

Ein-

heiten sind damit ein nützlicher Arbeitsraum –

die

Realitätsprüfung findet in den vertrauten Einheiten

unserer Messinstrumente statt.

Gleichzeitig bleibt ein philosophischer Vorbe-

halt: Jede Messung vergleicht letztlich Frequenzen
oder Zählraten und liefert damit nur relative Aussagen; was ontologisch "wirklich" langsamer läuft
oder schwerer wird, entzieht sich der direkten Testbarkeit. Für die FFGFT heißt dies: Entscheidend ist
nicht, ob wir absolut feststellen können, ob sich die Zeit verlangsamt oder die Masse zunimmt; entscheidend ist, dass die mathematische Struktur konsistent ist und alle beobachtbaren Relationen (Frequenzen, Skalen, Verhältnisse) reproduziert.

Kapitel 14

Kapitel 14: FFGFT als Lagrange-Erweiterung

FFGFT als

Lagrange-Erweiterung

Die Zeit-Masse-Dualität und die Fundamental Fractal-Geometric Field Theory (FFGFT) sollen keine bewährten Theorien ersetzen, sondern sie empherweitern. Statt ein neues Über-"Modell gegen Quantenfeldtheorie, Standardmodell oder Allgemeine Relativität zu stellen, versteht sich

die

FFGFT als strukturelle Ergänzung: Sie legt eine fraktale Geometrie zugrunde, in der die bekann-

ten

Lagrange-Dichten als effektive Beschreibung bestimmter Skalen erscheinen.

14.1 Lagrange-Dichten als gemeinsame Sprache

Die moderne Physik formuliert nahezu alle erfolg-

reichen Theorien in der Sprache der Lagrange-Dichten:

- die Dirac- und Klein-Gordon-Gleichung für Quantenfelder,
- die Yang-Mills-Theorien des Standardmodells,
- die Einstein-Hilbert-Wirkung der Allgemeinen Relativität.

In all diesen Fällen ist die Lagrangedichte nicht nur mathematische Bequemlichkeit, sondern die kompakteste Formulierung von Symmetrien und

Erhaltungssätzen. Die FFGFT schließt hier an: Sie verändert die bekannte Form dieser Lagrangedichten

nicht direkt, sondern ergänzt sie um eine fraktale Struktur des Hintergrundes und um zusätzliche,

durch \mathbb{H}^3 organisierte Terme.

14.2 Fraktale Geometrie als Zusatzstruktur

Im Xi-Narrativ wurde die fraktale Dimension $\mathbb{H}^3 = 3 - \mathbb{H}^3$ als globales Maß für die Faltungstiefe des Raumes eingeführt. Auf Ebene der Lagrange-Dichten bedeutet dies, dass Integrale der Form

$$\mathbb{H}^3 = \int d^3 \mathbb{H}^3 \quad (14.1)$$

in eine leicht veränderte Form

$$\mathbb{H}^3 \text{ frak} = \int d \mathbb{H}^3 \mathbb{H}^3 \text{ eff} \quad (14.2)$$

übergehen, wobei $\mathbb{H}^3 \text{ eff}$ die gleiche Symmetriestruktur wie die ursprüngliche Lagrangedichte trägt, aber durch die fraktale Maßstruktur zusätzlich reguliert wird.

Praktisch heißt das:

- Die Form der Dirac-, Maxwell- oder Yang-Mills-Lagrange bleibt erhalten.
- Die fraktale Geometrie ändert die Art, wie Selbst-energien und Schleifenintegrale konvergieren.
- Die bekannten Ergebnisse der Quantenfeldtheorie werden im passenden Grenzfall ($\epsilon \rightarrow 0$, $\hbar \rightarrow 3$) reproduziert.

14.3 Erweiterung statt Konkurrenz

Bewährte Theorien wie das Standardmodell oder

die Allgemeine Relativität haben eine beeindruckende

experimentelle Basis. Die FFGFT nimmt diese Erfolge ernst und versteht sich nicht als Ersatz,

son-

dern als Erweiterung in zwei Schritten:

1. Geometrische Vertiefung: Die Raumzeit erhält eine fraktale Tiefenstruktur mit $\epsilon = 3 - \epsilon$, aus der Skalen wie ϵ_0 , ϵ_1 und ϵ_2 hervorgehen.

2. Lagrange-Ergänzung: Die bekannten Lagrange-Dichten werden so gelesen, dass ihre Parameter (Massen, Kopplungen) nicht frei sind, sondern von dieser fraktalen Geometrie organisiert werden.

In diesem Sinn ist die FFGFT eine Theorie der Lagrange-Dichten: Sie fragt nicht nach einer einzigen

"Lagrange-Dichte für alles", sondern danach,

wie die Vielzahl bewährter effektiver Lagrange-

Dichten in einer gemeinsamen fraktalen Geometrie

verankert ist.

14.4 Worin sich die FFGFT von der Allgemeinen Relativität unterscheidet

Aus Sicht der Allgemeinen Relativität bringt die FFGFT mehrere strukturelle Veränderungen mit sich, die für die Zeit-Masse-Dualität zentral sind:

- Die Raumzeitmannigfaltigkeit erhält eine frakta-

le Tiefenstruktur mit effektiver Raumdimension

$d_{eff} = 3 - \frac{1}{\alpha}$; Krümmungen und Volumina werden bezüglich dieser Tiefenstruktur ausgewertet.

- Ruhemasse ist nicht mehr ein strikt fester Parameter

entlang einer Weltlinie, sondern ein effektives Massenfeld $\rho(\mathbf{x})$, das aus dem Zeitfeld hervorgeht; nur in einfachen Situationen wird dies gut durch einen konstanten Wert angenähert.

- Die Gravitationskonstante G wird als emergente Kopplung interpretiert, die sich in Begriffen von ρ und den natürlichen Skalen ρ_0 , ρ_{crit} und ρ_{max} ausdrücken lässt, statt als fundamentale Konstante postuliert zu werden.

- In den einleitenden Kapiteln wird mit einer verein-

fachten Lagrangedichte gearbeitet, in der ρ vor allem Massen, Kopplungen und Cutoffs organisiert; die erweiterte Lagrangedichte der vollständigen

FFGFT fügt die fraktale Maßstruktur und explizite Vakuumterme hinzu, die das Laufen von

Kopplungen und Massen kodieren.

Historisch hält Einsteins Formulierung die Ruhmas-
 sen fest und legt alle Dynamik in die Krümmung
 der Raumzeit; sobald Quantenfelder und Selbst-
 energien hinzukommen, führt dies zu
 komplizier-

ten Regularisierungs- und Renormierungstricks,
 um

Widersprüche und Divergenzen zu zähmen. Die-
 se Unterschiede präzisieren, in welchem Sinne
 die

FFGFT über die Allgemeine Relativität hinaus-
 geht,

während sie alle lokalen Gravitations-Tests im
 pas-

senden Grenzfall weiterhin reproduziert.

14.5 Was sich nicht ändert

Wichtig für das Verständnis ist, was sich explizit
 emphnicht ändert:

- Die lokal gemessenen Effekte der Allgemei-
 nen Relativität (z.B. GPS-Korrekturen, Lichtab-
 lenkung, Periheldrehung) bleiben unberührt.
- Die Vorhersagen des Standardmodells für

Streu-

querschnitte, Zerfallsbreiten und Präzisionsob-
 servablen werden respektiert.

- Auch die QED mit ihrer extrem genauen

Beschrei-

bung von $\frac{1}{\epsilon} - 2$ bleibt im zulässigen
 Parameterbe- reich der FFGFT enthalten.

Die Erweiterung setzt dort an, wo Beobachtun-
 gen auf neue Skalen hinweisen: bei der Hierar-
 chie

der Massen, der Zahl 137, der Verbindung zw-
 schen

CMB und Casimir-Effekt oder bei subtilen Abweichungen in Präzisionstests. In diesen Bereichen bietet die FFGFT eine zusätzliche Struktur an, ohne die etablierten Lagrange-Theorien fallenzulassen.

14.6 Ausblick: Eine fraktale Theorie von allem

Ein vollständiges Lagrange-Bild der FFGFT würde

alle genannten Bausteine – fraktale Geometrie, Zeit-

Masse-Dualität, Skalen 10^{-35} m, 10^{-16} s, 10^{19} GeV und die bestehenden Lagrange-Dichten von QFT und Gravitation – in

einer gemeinsamen Wirkungsfunktion zusammen-

fassen. Auf der Ebene der Feldgleichungen bleibt

diese Beschreibung deterministisch; erst die fraktale-

le, rekursive Variation der Anfangsbedingungen auf

vielen Skalen eröffnet einen effektiven Spielraum

für Bewusstsein, Selbstbestimmung und emergente

Entscheidungen, ohne die zugrunde liegende Dynamik zu verletzen. Aus praktischen Gründen und wegen der extrem komplexen Kopplung der deterministischen Gleichungen sind bei konkreten

Rechnungen häufig probabilistische Methoden, effektiv-

effektive Feldtheorien oder Monte-Carlo-Verfahren
die einzig realistische Vorgehensweise, auch wenn
sie auf einem letztlich deterministischen Unterbau
beruhen. Das Xi-Narrativ liefert hierzu die konzeptionellen Leitplanken: FFGFT soll als Erweiterung gelesen werden, die bewährte Lagrange-Theorien
in einen größeren geometrischen Zusammenhang stellt, nicht als Theorie, die sie ersetzt.

Kapitel 15

Kapitel 15: Quellen und weiterführende Literatur

Quellen und
weiterführende
Literatur

Dieses Kapitel führt die wichtigsten externen
Quel-
len auf, die im Xi-Narrativ zitiert werden, und
ver-

weist auf ergänzende T0-Dokumente im
Reposito-
ry.

Literaturverzeichnis

[Modesto(2008)] L. Modesto, "Fractal Structure
of Loop Quantum Gravity," Class. Quantum
Grav. 26 (2009) 242002, arXiv:0812.2214 [gr-

qc].

[Modesto(2009)] L. Modesto, "Fractal Quantum
Space-Time," arXiv:0905.1665 [gr-qc].

[Calcagni(2010)] G. Calcagni, "Fractal universe

- and quantum gravity," Phys. Rev. Lett. 104 (2010) 251301, arXiv:0912.3142 [hep-th].
- [Calcagni(2010b)] G. Calcagni, "Quantum field theory, gravity and cosmology in a fractal universe," JHEP 03 (2010) 120, arXiv:1001.0571 [hep-th].
- [Calcagni(2012)] G. Calcagni, "Introduction to multifractional spacetimes," AIP Conf. Proc. 1483 (2012) 31, arXiv:1209.1110 [hep-th].
- [Hořava(2009)] P. Hořava, "Spectral Dimension of the Universe in Quantum Gravity at a Lifshitz Point," Phys. Rev. Lett. 102 (2009) 161301, arXiv:0902.3657 [hep-th].
- [Thürigen(2015)] J. Thürigen, "Discrete Quantum Geometries," arXiv:1511.08737 [gr-qc].
- [Jiang et al.(2024)] W.-C. Jiang, M.-C. Zhong, Y.-K. Fang, S. Donsa, I. Březinová, L.-Y. Peng, J. Burgdörfer, "Time Delays as Attosecond Probe of Interelectronic Coherence and Entanglement," Phys. Rev. Lett. 133 (2024) 163201, doi:10.1103/PhysRevLett.133.163201.
- [NASA Space News(2026)] NASA Space News, "Scientists Measure Quantum Entanglement Speed – And It Breaks Physics," YouTube-<https://www.youtube.com/watch?v=t3wjY95zvNM> (abgerufen am 15. Januar 2026).
- [Pascher(2026a)] J. Pascher, "Fraktale Raumzeit und ihre Implikationen in der Quantengravitation," internes T0-Dokument 141_Renormierung_De (2026), als PDF im GitHub-Repository

unter /141_Renormierung_De.pdf.

[Pascher(2026b)] J. Pascher, "Attosekunden-Vorhersage zur Entstehung von Quantenverschränkung als Beleg für die T0 - Time-Mass-Duality-Theorie," internes T0-Dokument 142_Experimet-verschränkung_De (2026), als PDF im GitHub-Repository unter /142_Experimet-verschränkung_De.pdf.

[Pascher(2025a)] J. Pascher, "T0-Teilchenmassen

und Leptonenhierarchie," internes T0-Dokument 006_T0_Teilchenmassen_De (2025), als PDF im GitHub-Repository unter /006_T0_Teilchenmassen_De.pdf.

[Pascher(2025b)] J. Pascher, "Feinstrukturkonstante und fraktale Geometrie," interne T0-Dokumente 044_Feinstrukturkonstante_De und 043_ResolvingTheConstantsAlfa_De (2025), als PDFs im GitHub-Repository unter /044_Feinstrukturkonstante_De.pdf und /043_ResolvingTheConstantsAlfa_De.pdf.

[Pascher(2025c)] J. Pascher, "Natürliche Einhei-

ten und ihre Systematik," internes T0-Dokument 015_NatEinheitenSystematik_De (2025), als PDF im GitHub-Repository unter /015_NatEinheitenSystematik_De.pdf.

[Pascher(2025d)] J. Pascher, "T0, natürliche Ein-

heiten und SI," interne T0-Dokumente 014_T0_nat-si_De und 013_T0_SI_De (2025), als PDFs im GitHub-Repository unter /014_T0_nat-si_De.pdf und /013_T0_SI_De.pdf.

[Pascher(2025e)] J. Pascher, "T0-Kosmologie

und fraktale Geometrie," interne T0-Dokumente 026_T0_Geometrische_Kosmologie_De und 025_T0_Kosmologie_De (2025), als PDFs im GitHub-Repository unter /026_T0_Geometrische_Kosmologie_De.pdf und /025_T0_Kosmologie_De.pdf.